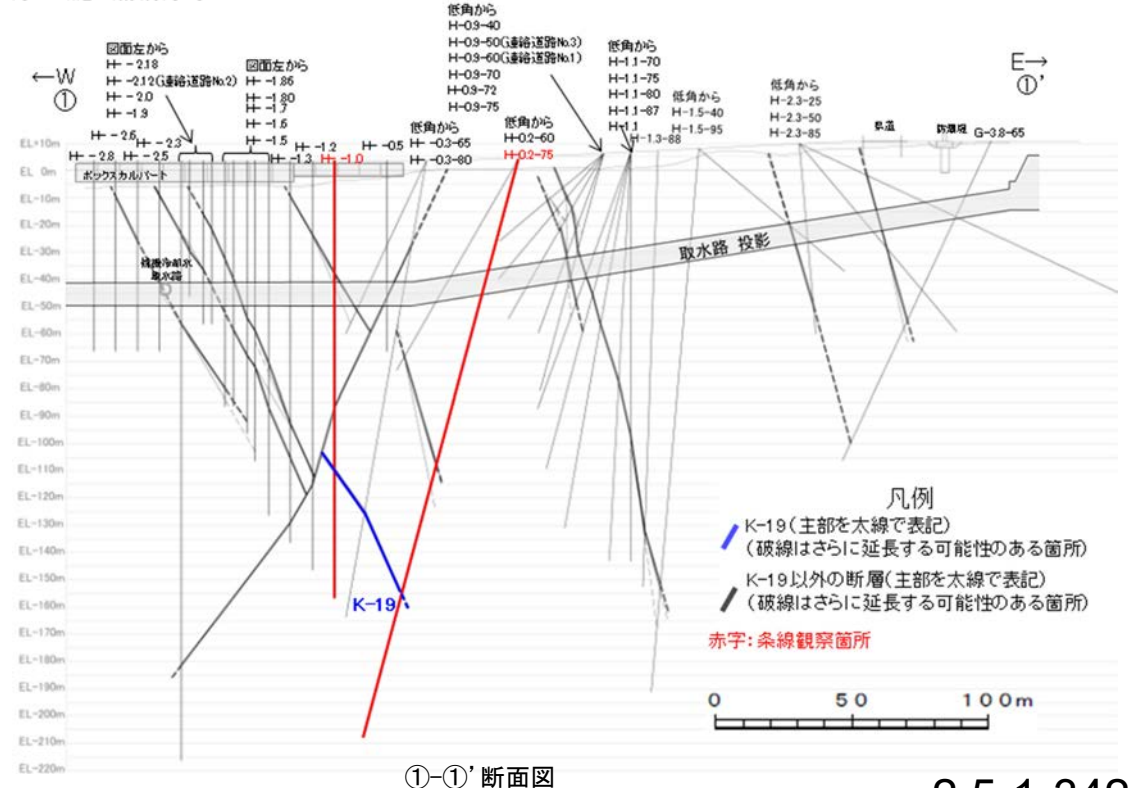
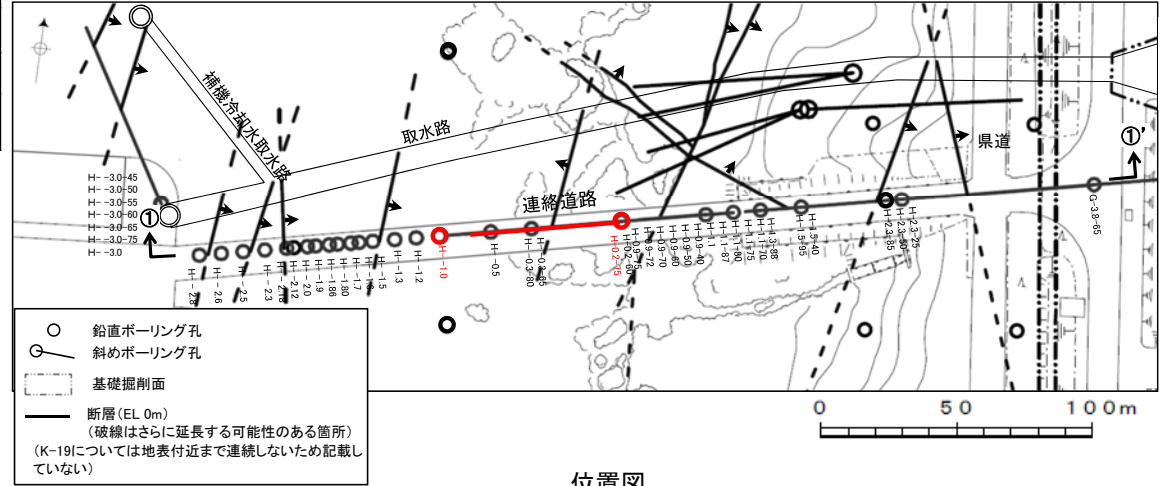


K-19の条線観察結果

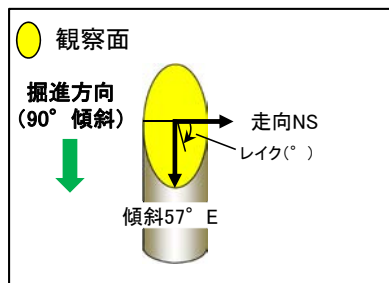
試料名	走向/傾斜 (走向は真北)	条線の レイク※1, 2	変位センス	
ボーリングH- -1.0孔 [深度113.16m]	下盤側	NS/57° E	75° R	(不明)
			35° R	(不明)
ボーリングH-0.2-75孔 [深度165.78m]	下盤側	N13° W/78° NE	65° R	(不明)

※1 上盤側で確認したレイクは下盤側に換算して示す。

※2 新旧対比ができる条線は最新のレイクのみ示す。



条線観察結果 ボーリングH- -1.0孔[深度113.16m](下盤側)

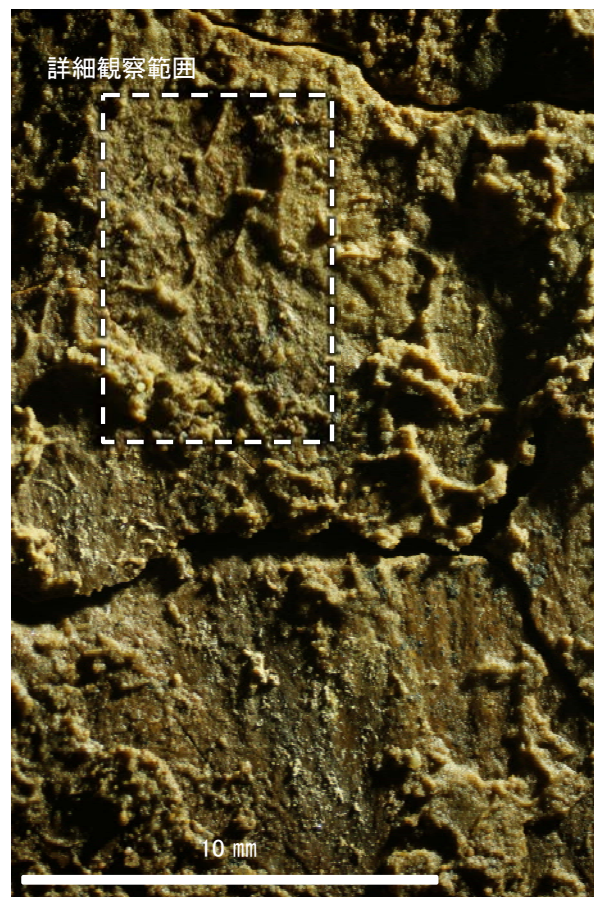


概念図

※走向は真北で示す。



観察面写真



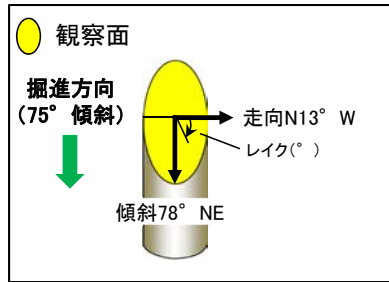
観察面拡大写真



詳細観察写真

- ・条線①のレイクは75° R, 変位センスは不明
- ・条線②のレイクは35° R, 変位センスは不明

条線観察結果 ボーリングH-0.2-75孔[深度165.78m](下盤側)

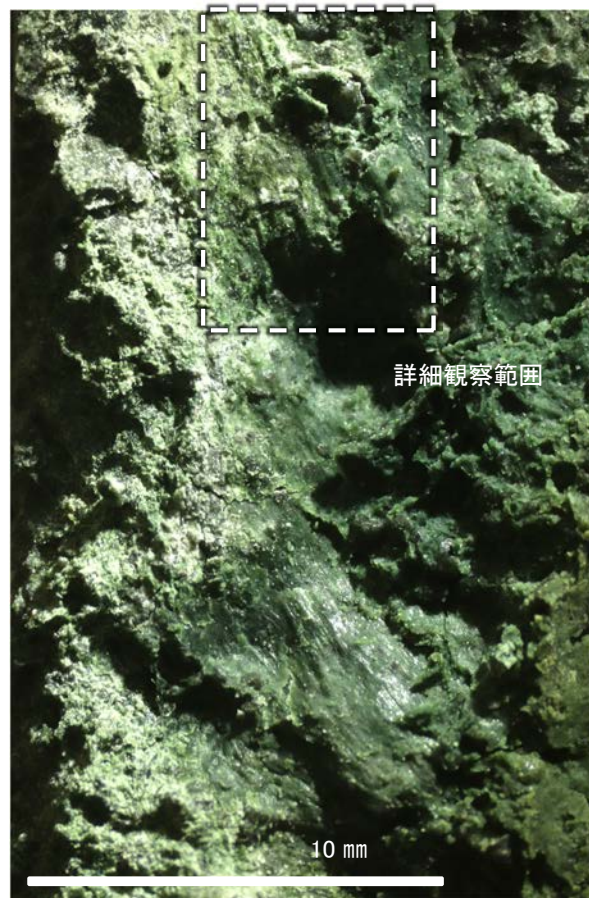


概念図

※走向は真北で示す。



観察面写真



観察面拡大写真



詳細観察写真

・条線のレイクは65° R, 変位センスは不明

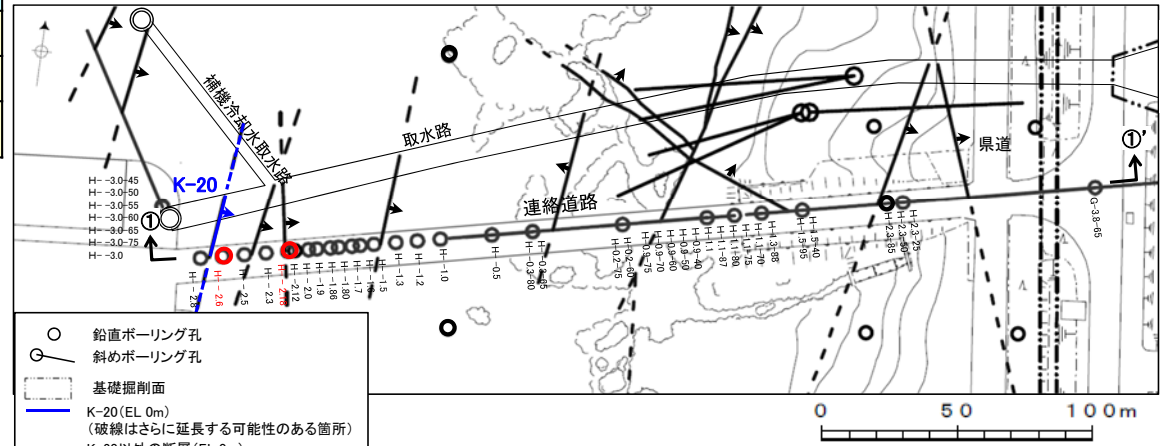
(2)-22 K-20の条線観察結果

K-20の条線観察結果

試料名	走向/傾斜 (走向は真北)	条線の レイク※1, 2	変位センス	
ボーリングH-2.6孔 [深度13.09m]	上盤側	N3° E/65° SE	105° R	(不明)
			150° R	(不明)
ボーリングH-2.18孔 [深度59.88m]	下盤側	N12° W/67° NE	90° R	(不明)

※1 上盤側で確認したレイクは下盤側に換算して示す。

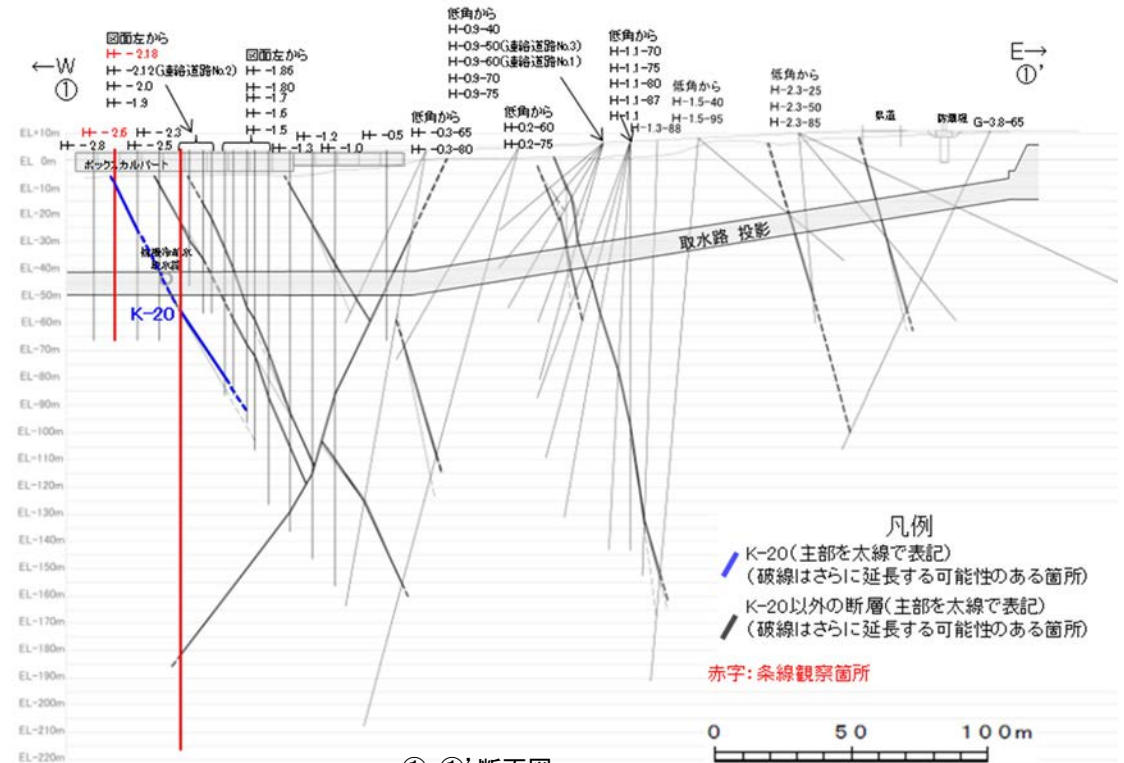
※2 新旧対比ができる条線は最新のレイクのみ示す。



位置図

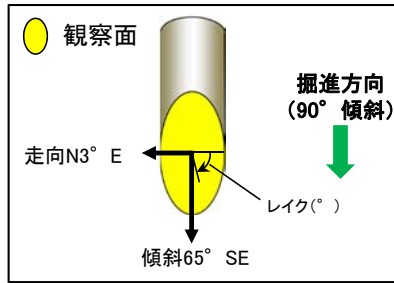
赤字:条線観察箇所

矢印(▲)の向きは断層の傾斜方向を示す



①-①'断面図

条線観察結果 ボーリングH- -2.6孔[深度13.09m](上盤側)

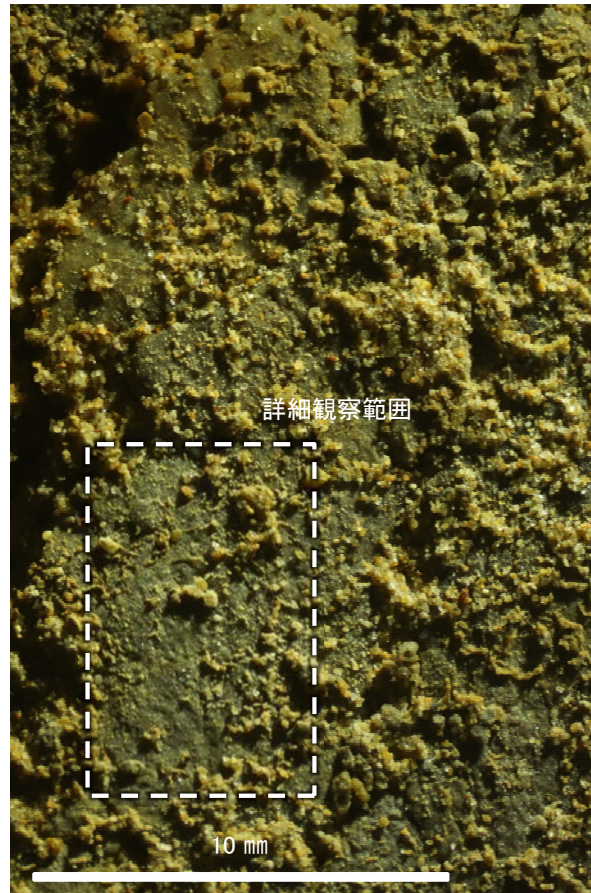


概念図

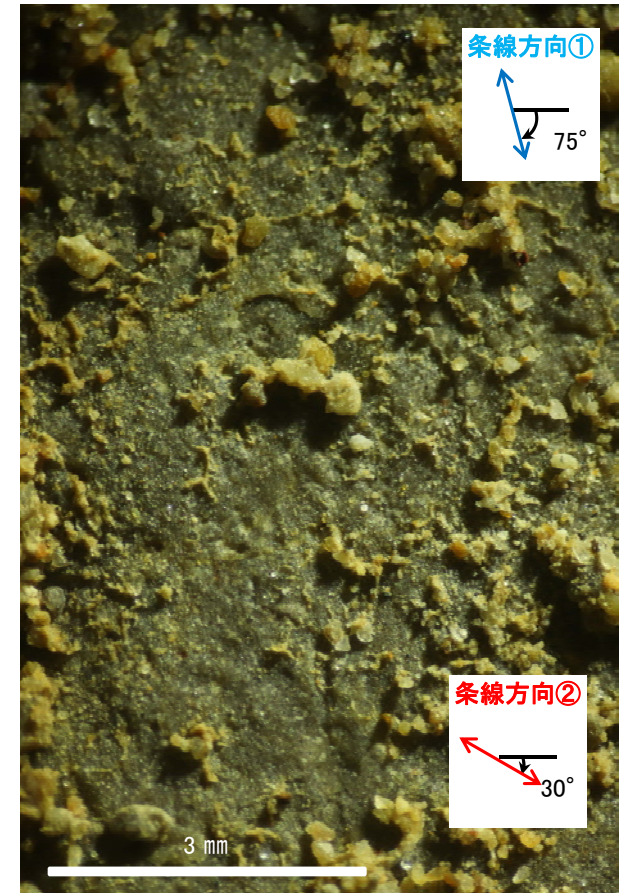
※走向は真北で示す。



観察面写真



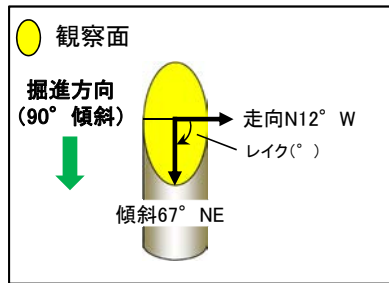
観察面拡大写真



詳細観察写真

- ・条線①のレイクは 105° R(下盤側換算), 変位センスは不明
- ・条線②のレイクは 150° R(下盤側換算), 変位センスは不明

条線観察結果 ボーリングH- -2.18孔[深度59.88m](下盤側)

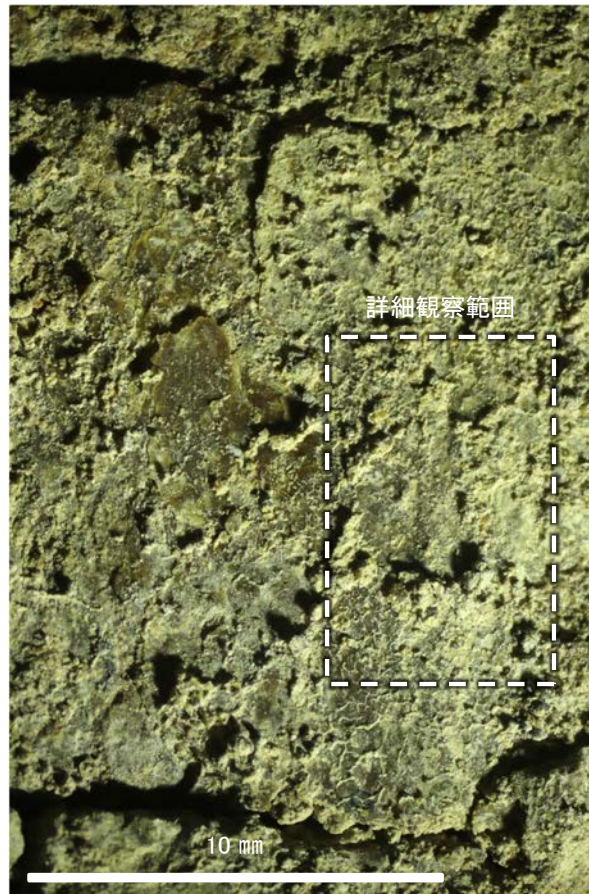


概念図

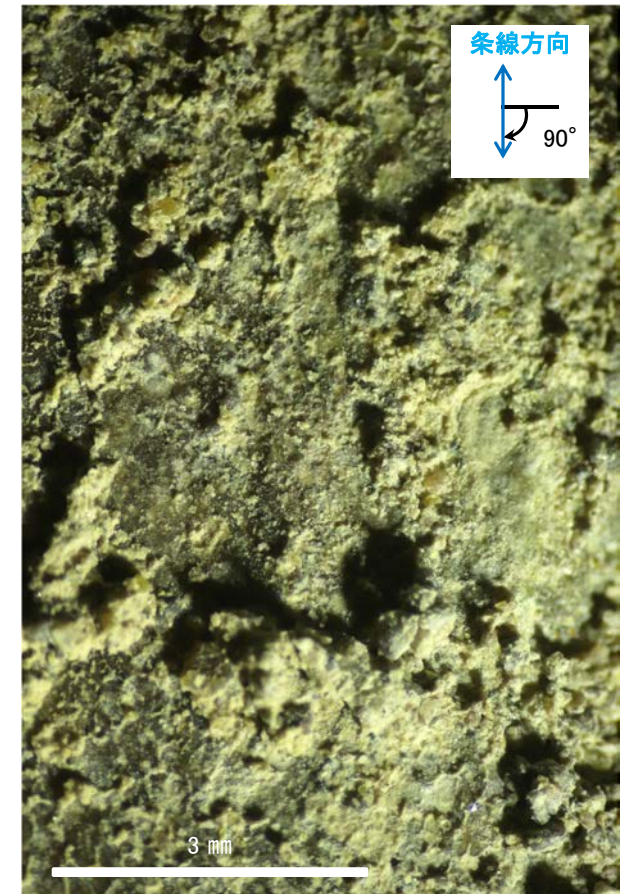
※走向は真北で示す。



観察面写真



観察面拡大写真



詳細観察写真

・条線のレイクは90° R, 変位センスは不明

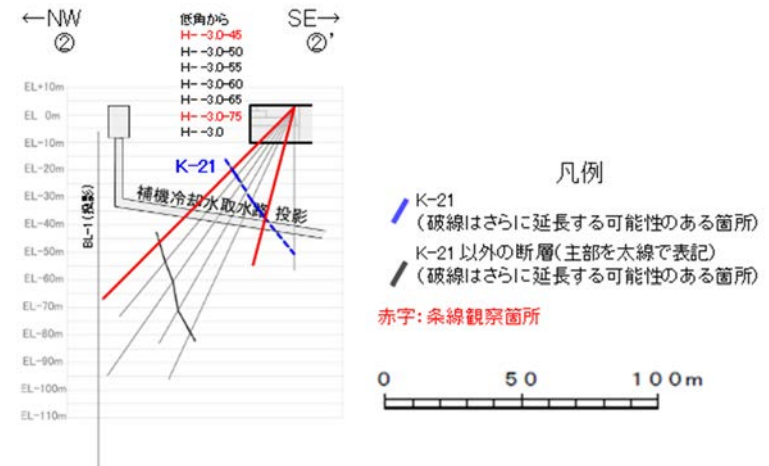
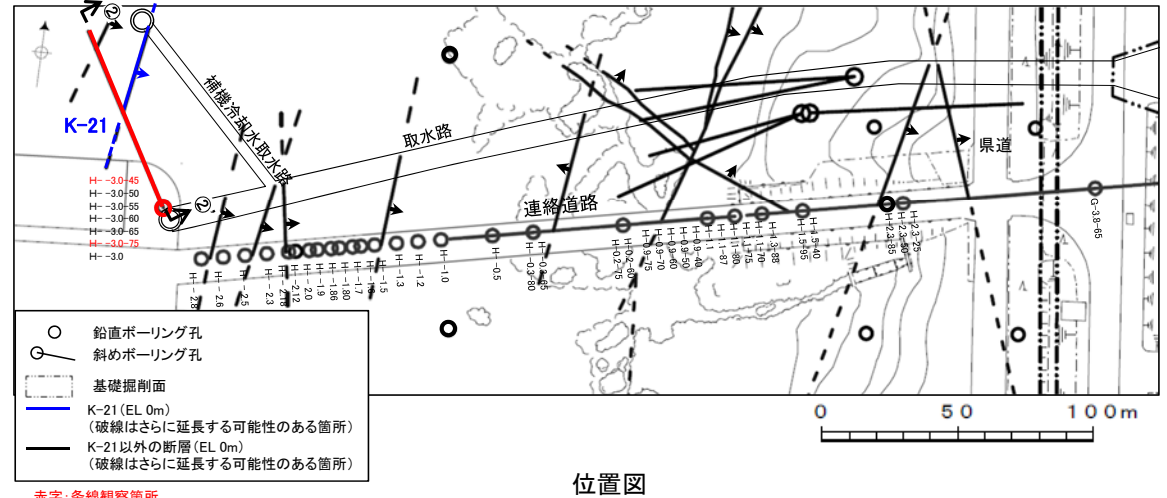
(2)-23 K-21の条線観察結果

K-21の条線観察結果

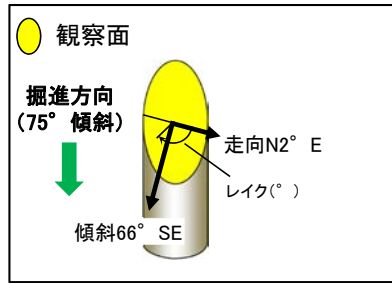
試料名	走向/傾斜 (走向は真北)	条線の レイク ^{※1, 2}	変位センス
ボーリングH-3.0-75孔 [深度42.59m]	下盤側	N2° E/66° SE	120° R
			95° R
ボーリングH-3.0-45孔 [深度32.84m]	下盤側	N9° E/62° SE	47° R

※1 上盤側で確認したレイクは下盤側に換算して示す。

※2 新旧対比ができる条線は最新のレイクのみ示す。



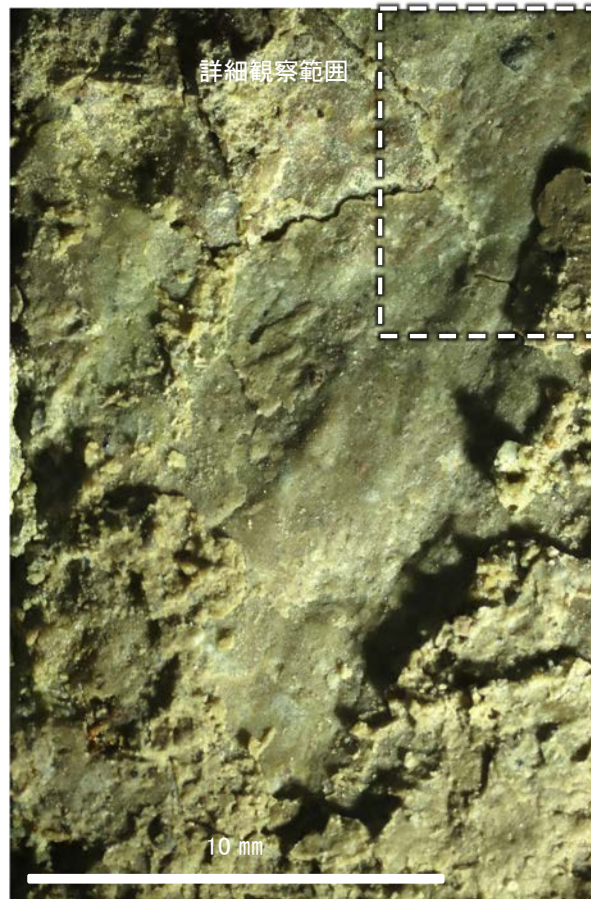
条線観察結果 ボーリングH- -3.0-75孔[深度42.59m](下盤側)



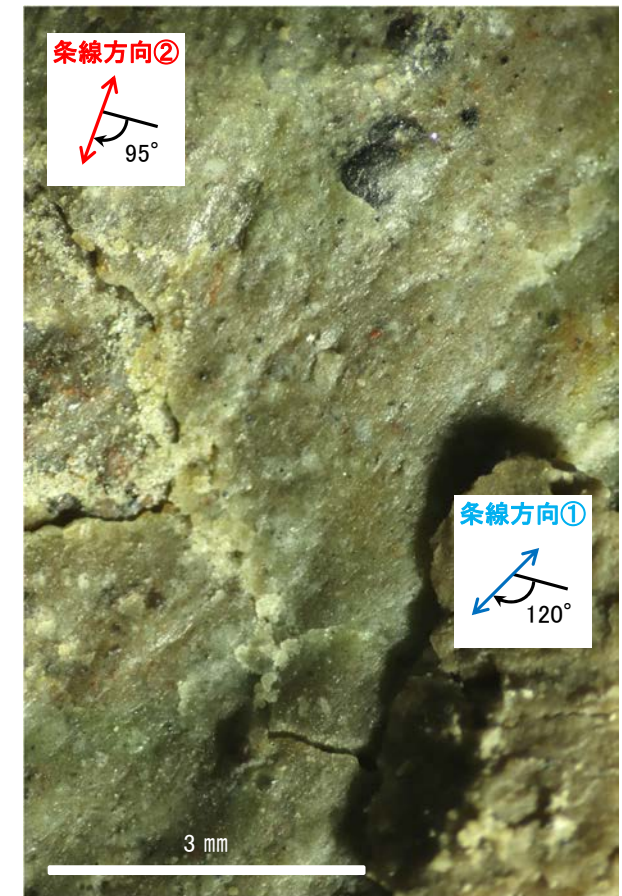
概念図
※走向は真北で示す。



観察面写真



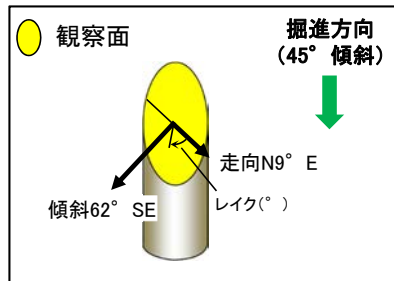
観察面拡大写真



詳細観察写真

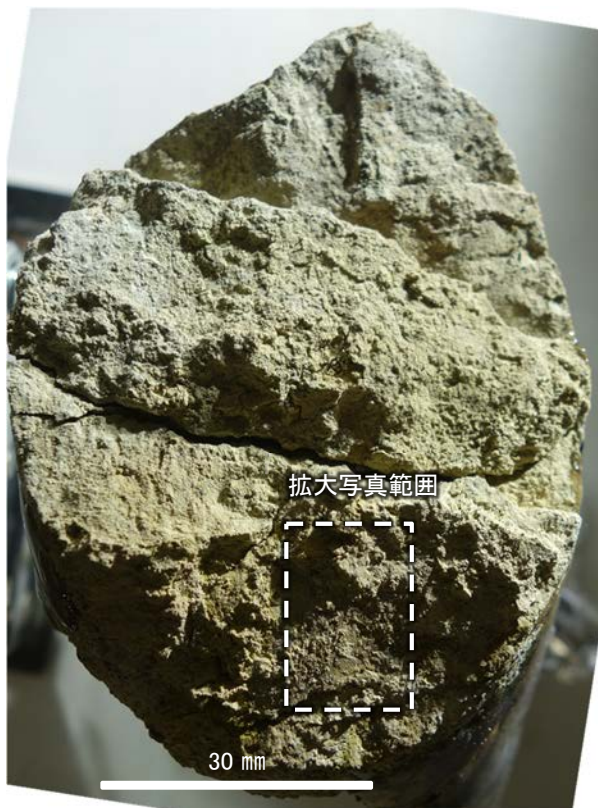
- ・条線①のレイクは120° R, 変位センスは不明
- ・条線②のレイクは95° R, 変位センスは不明

条線観察結果 ボーリングH- -3.0-45孔[深度32.84m](下盤側)

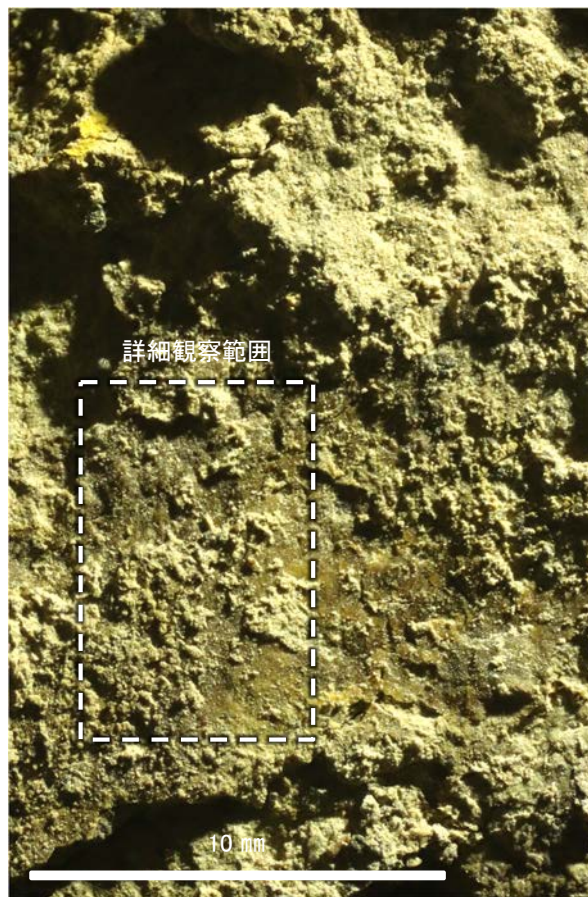


概念図

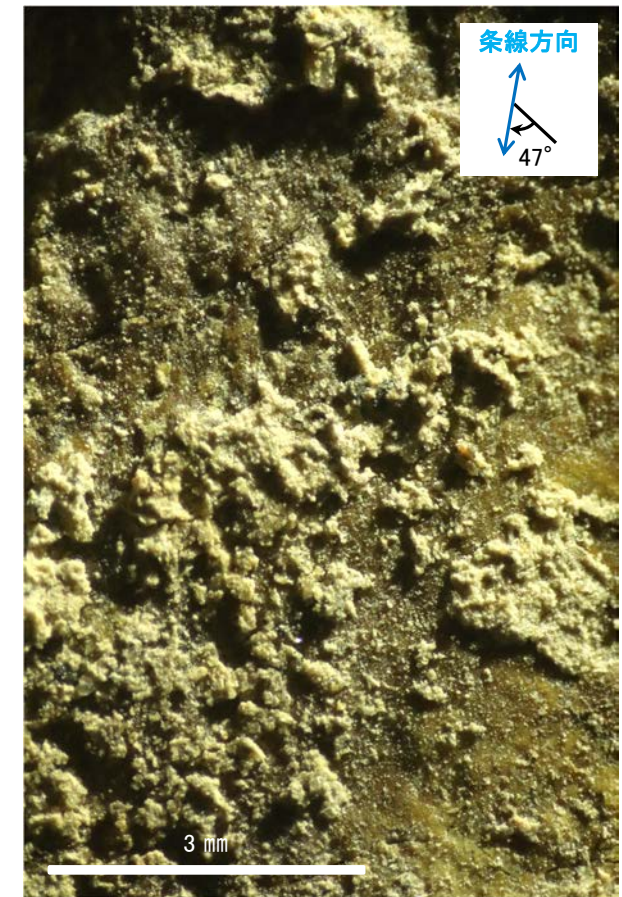
※走向は真北で示す。



観察面写真



観察面拡大写真



詳細観察写真

・条線のレイクは47° R, 変位センスは不明

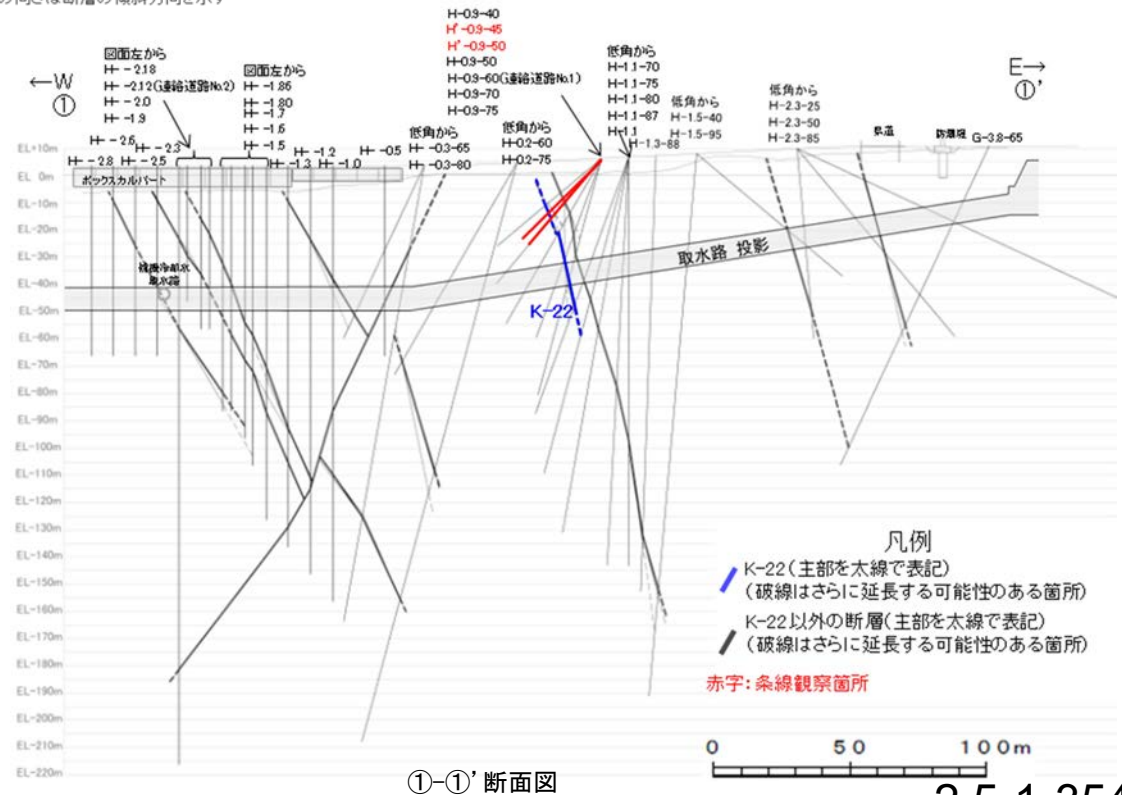
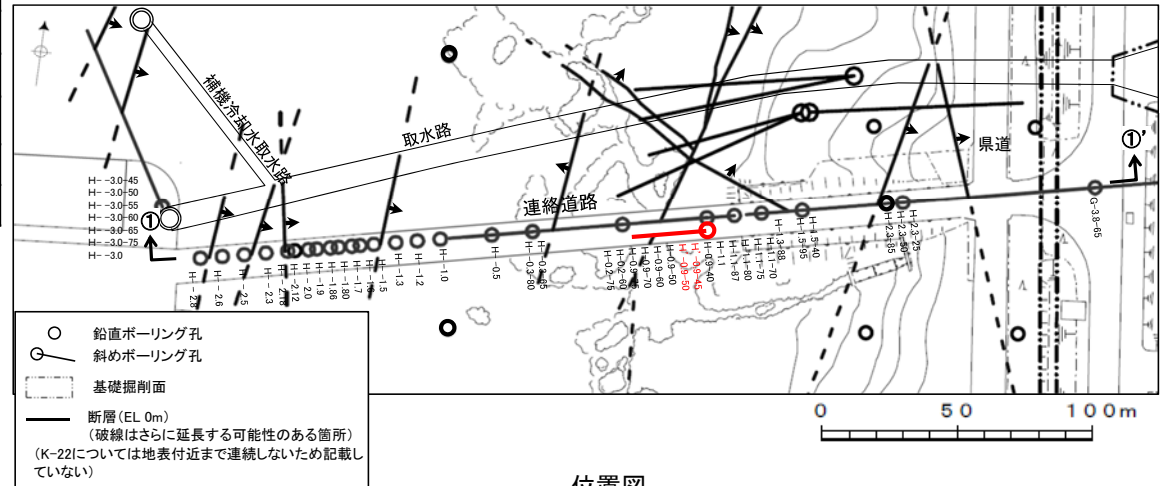
(2)-24 K-22の条線観察結果

K-22の条線観察結果

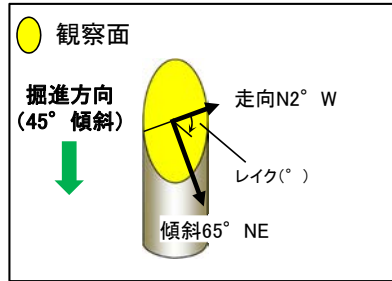
試料名	走向/傾斜 (走向は真北)	条線の レイク※1, 2	変位センス
ボーリングH'-0.9-45孔 [深度31.80m]	下盤側	N2° W/65° NE	60° R (不明)
			45° R (不明)
ボーリングH'-0.9-50孔 [深度32.95m]	下盤側	N7° W/67° NE	117° R (不明)
			67° R (不明)
			22° R (不明)

※1 上盤側で確認したレイクは下盤側に換算して示す。

※2 新旧対比ができる条線は最新のレイクのみ示す。

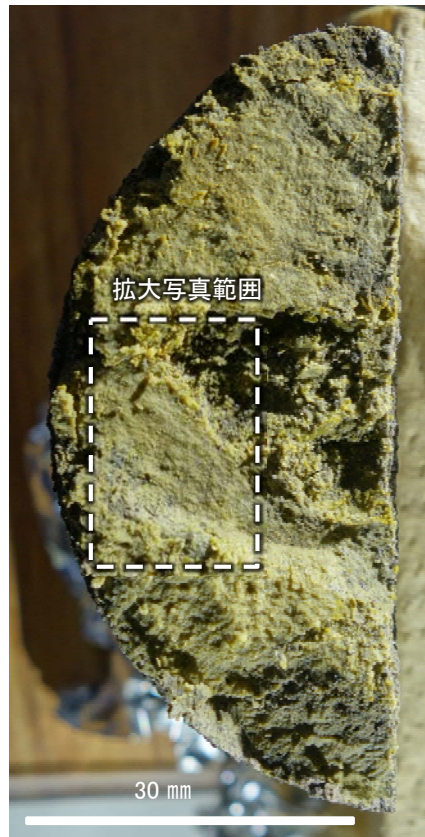


条線観察結果 ボーリングH' -0.9-45孔[深度31.80m](下盤側)

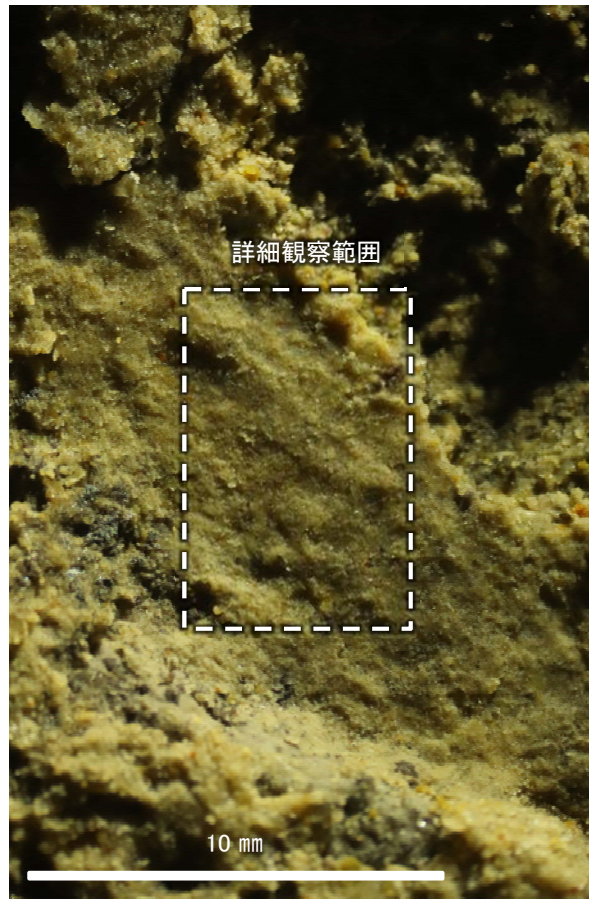


概念図

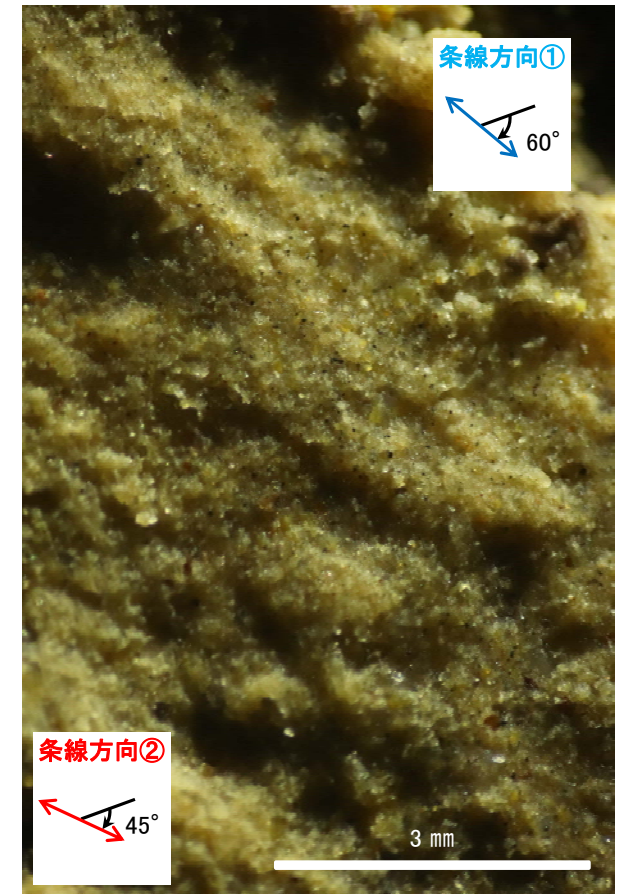
※走向は真北で示す。



観察面写真



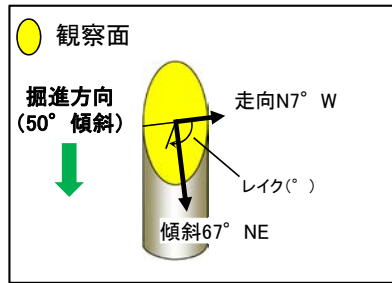
観察面拡大写真



詳細観察写真

- ・条線①のレイクは60° R, 変位センスは不明
- ・条線②のレイクは45° R, 変位センスは不明

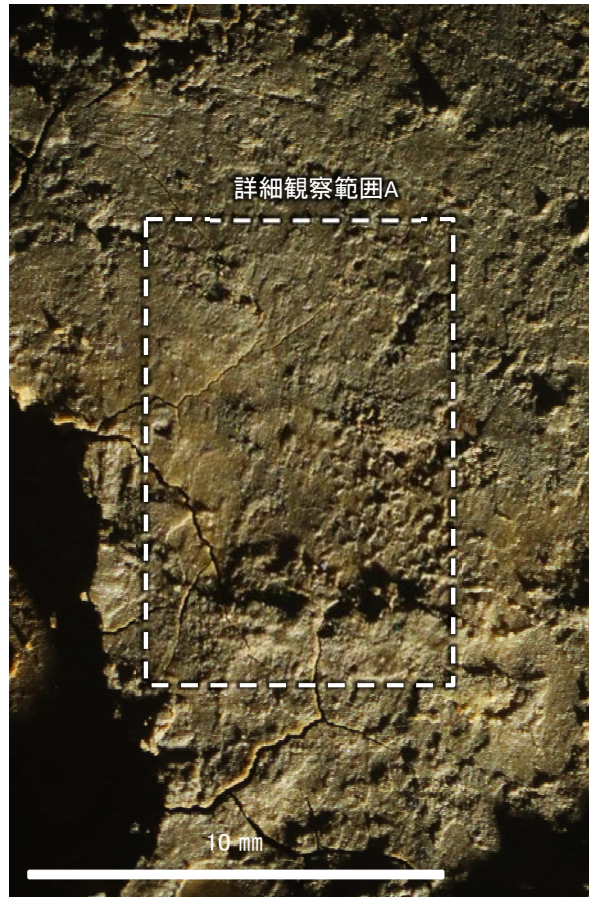
条線観察結果 ボーリングH' -0.9-50孔[深度32.95m](下盤側)①



概念図
※走向は真北で示す。



観察面写真



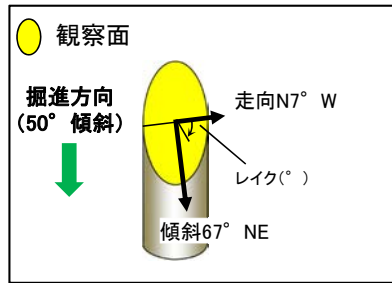
観察面拡大写真A



詳細観察写真A

・条線①のレイクは117° R, 変位センスは不明

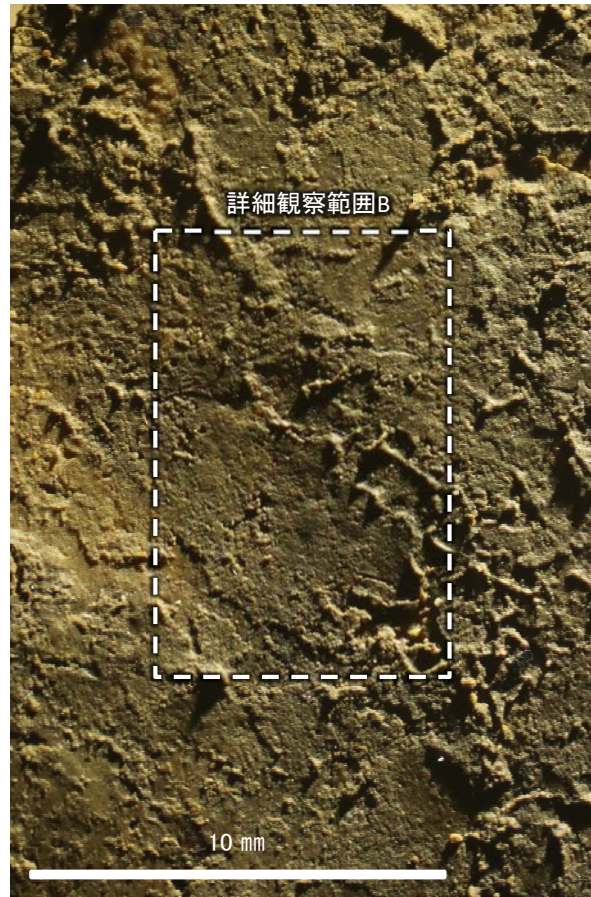
条線観察結果 ボーリングH' -0.9-50孔[深度32.95m](下盤側)②



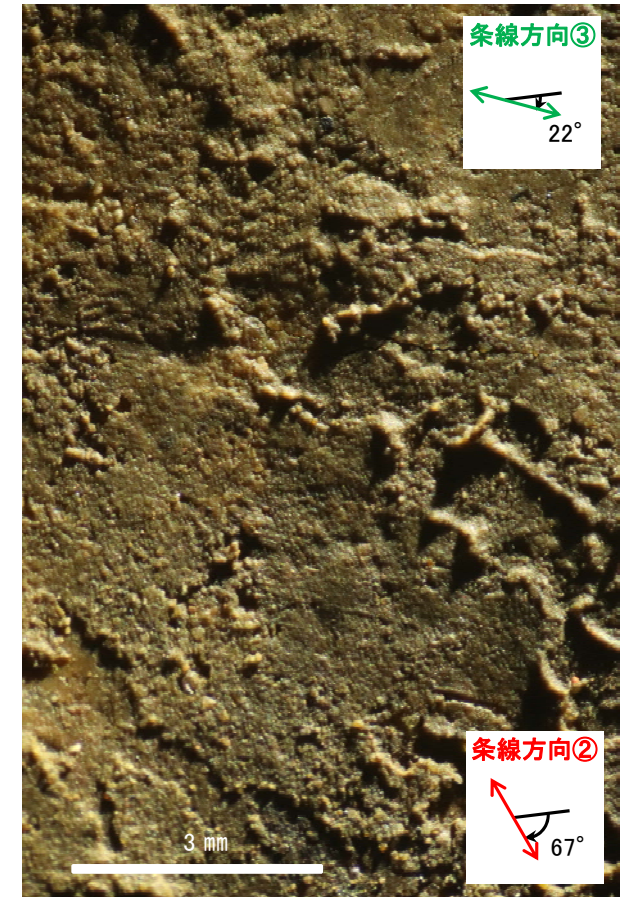
概念図
※走向は真北で示す。



観察面写真



観察面拡大写真B



詳細観察写真B

- ・条線②のレイクは67° R, 変位センスは不明
- ・条線③のレイクは22° R, 変位センスは不明

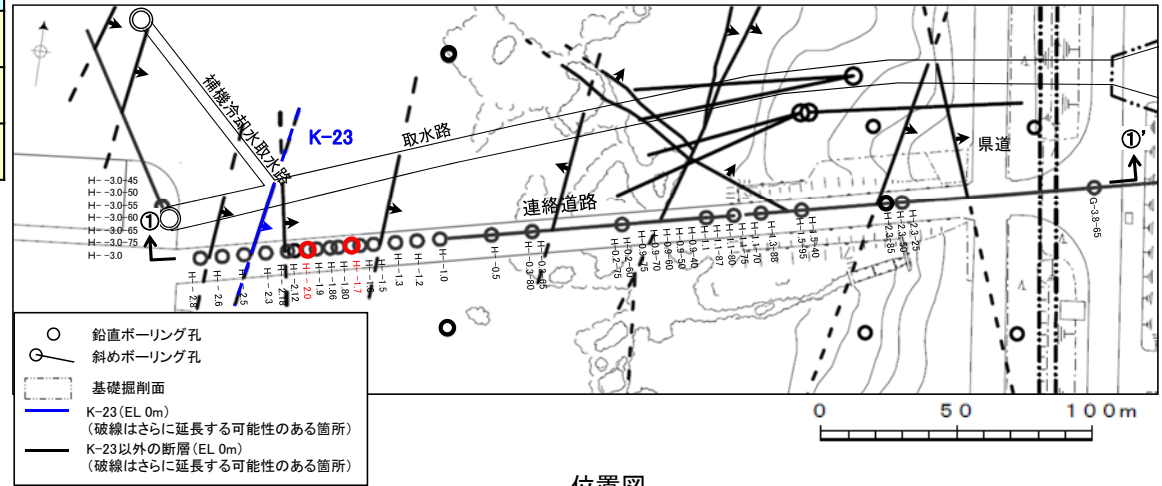
(2)-25 K-23の条線観察結果

K-23の条線観察結果

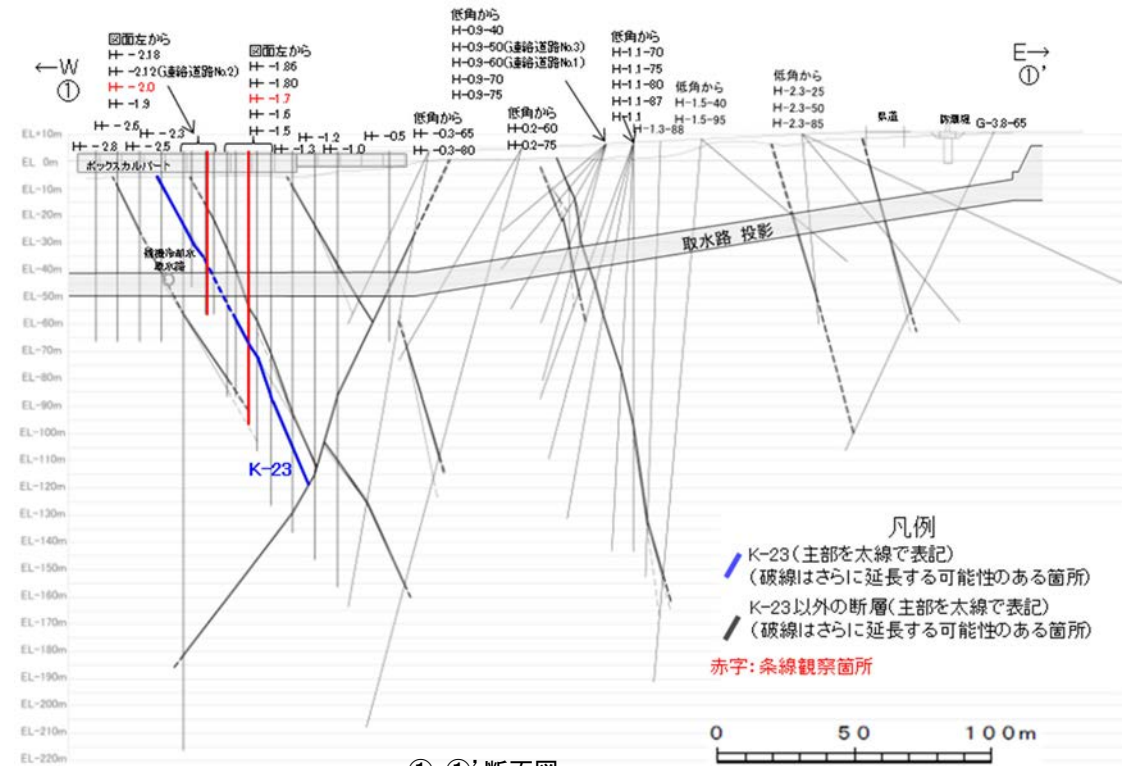
試料名	走向/傾斜 (走向は真北)	条線の レイク※1, 2	変位センス
ボーリングH-1.7孔 [深度71.32m]	上盤側 N13° E/72° SE	100° R	左横ずれ 逆断層
ボーリングH-2.0孔 [深度40.01m]	上盤側 N4° E/69° SE	85° R	右横ずれ 逆断層
		70° R	右横ずれ 逆断層

※1 上盤側で確認したレイクは下盤側に換算して示す。

※2 新旧対比ができる条線は最新のレイクのみ示す。

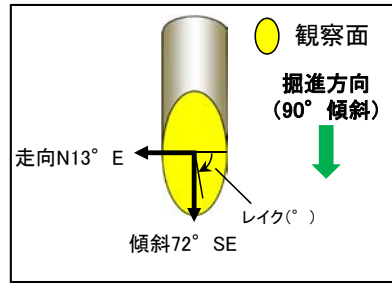


位置図

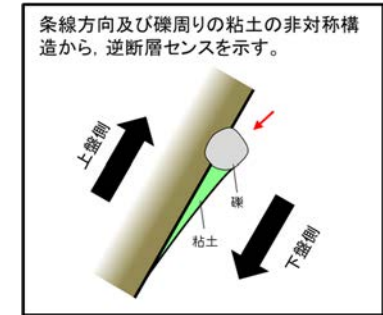


①-①' 断面図

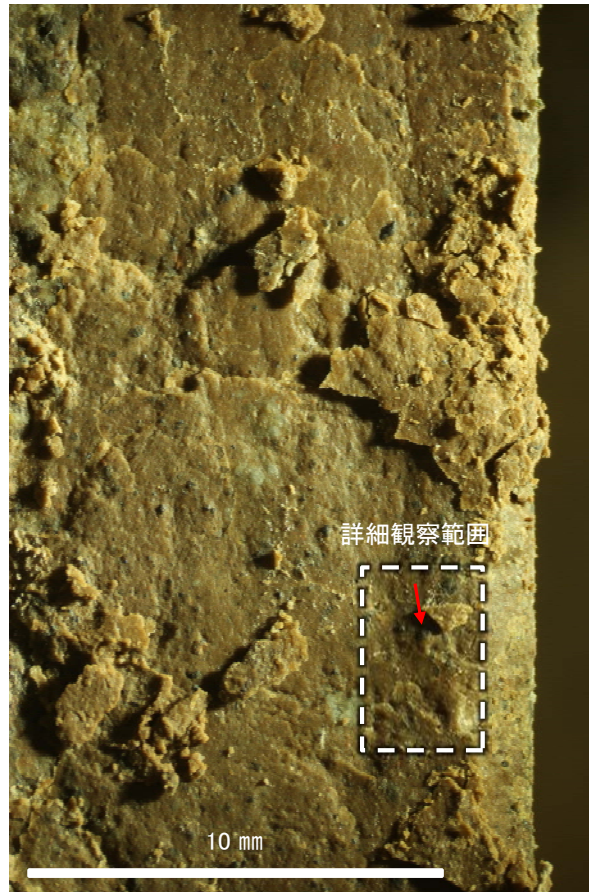
条線観察結果 ボーリングH- -1.7孔[深度71.32m](上盤側)



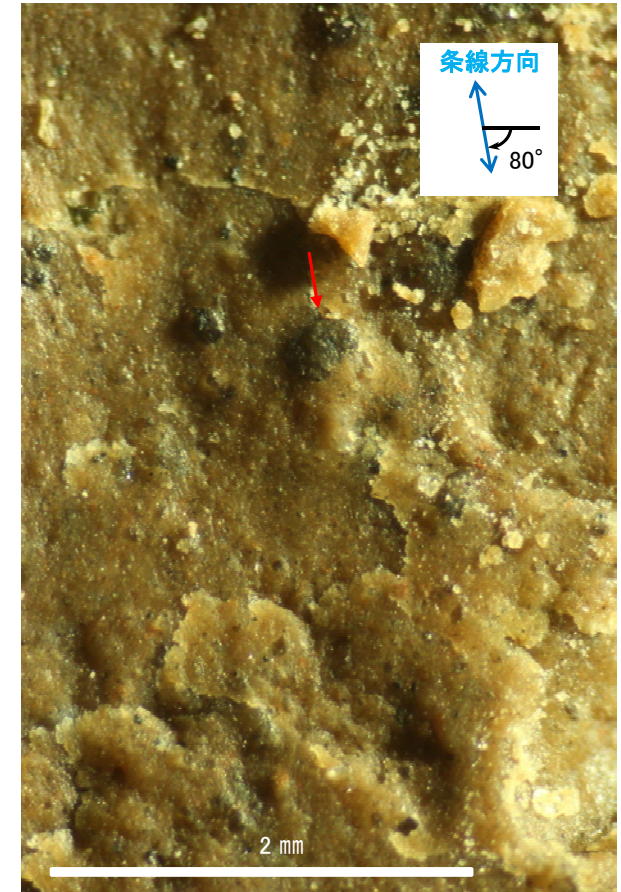
概念図
※走向は真北で示す。



観察面写真



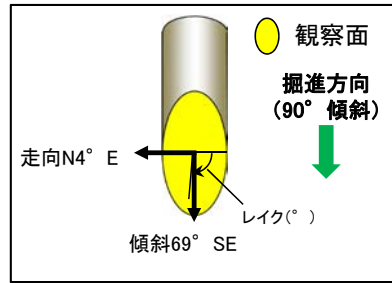
観察面拡大写真



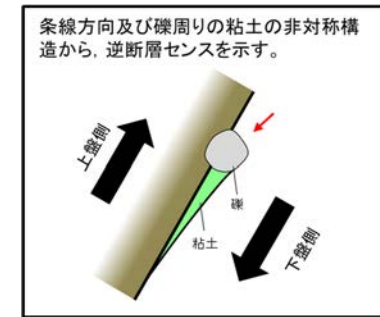
詳細観察写真

・条線のレイクは100° R(下盤側換算), 変位センスは左横ずれ逆断層

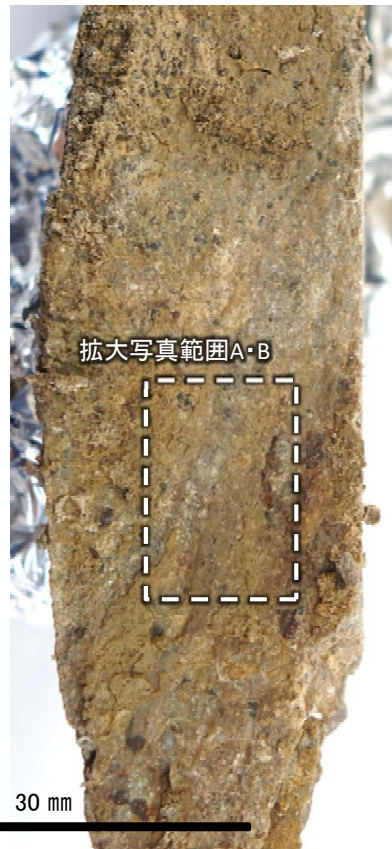
条線観察結果 ボーリングH- -2.0孔[深度40.01m](上盤側)①



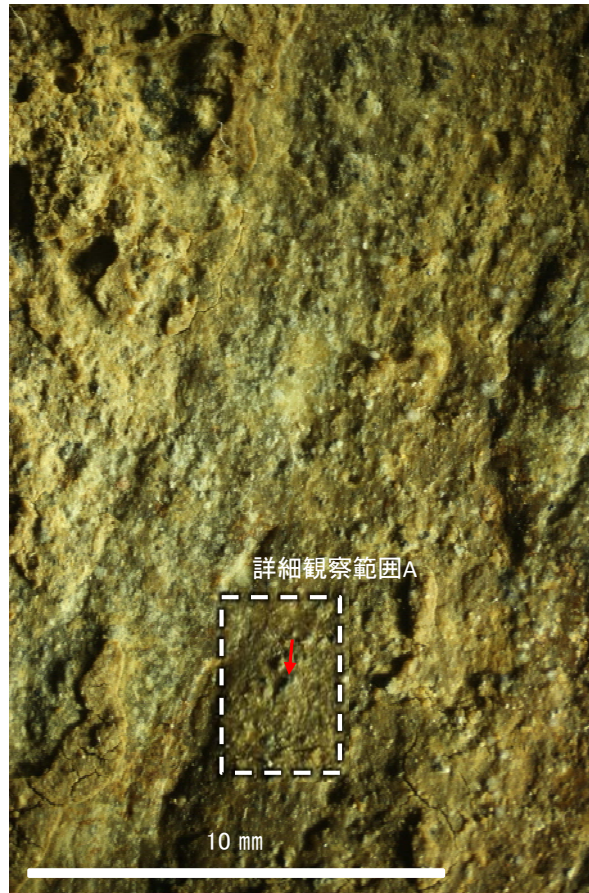
概念図
※走向は真北で示す。



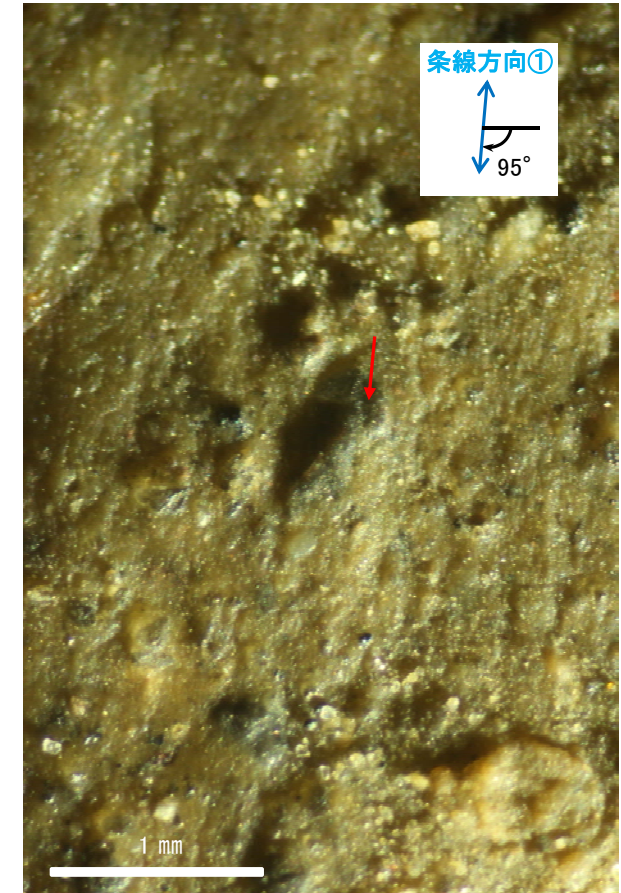
条線方向及び礫周りの粘土の非対称構造から、逆断層センスを示す。



観察面写真



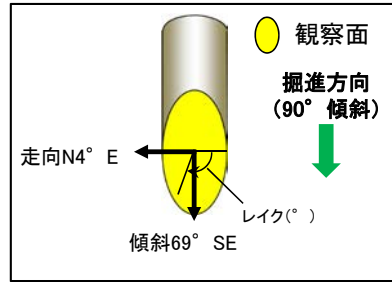
観察面拡大写真A



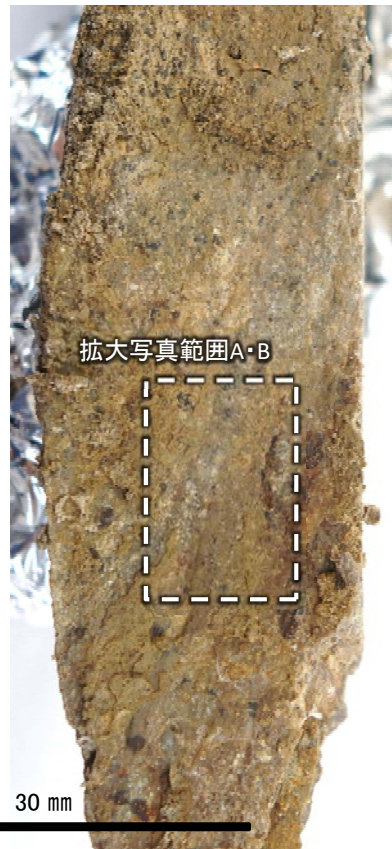
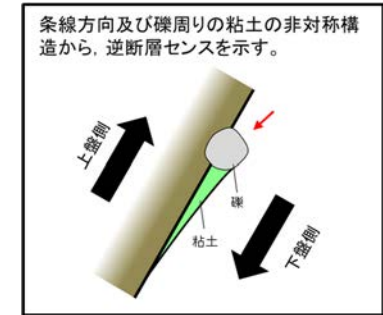
詳細観察写真A

・条線①のレイクは85° R(下盤側換算), 変位センスは右横ずれ逆断層

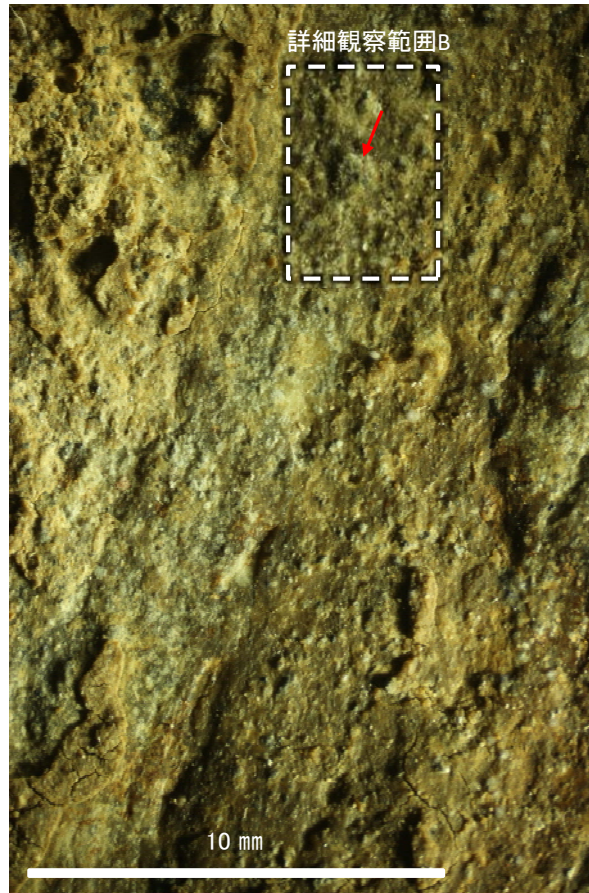
条線観察結果 ボーリングH- -2.0孔[深度40.01m](上盤側)②



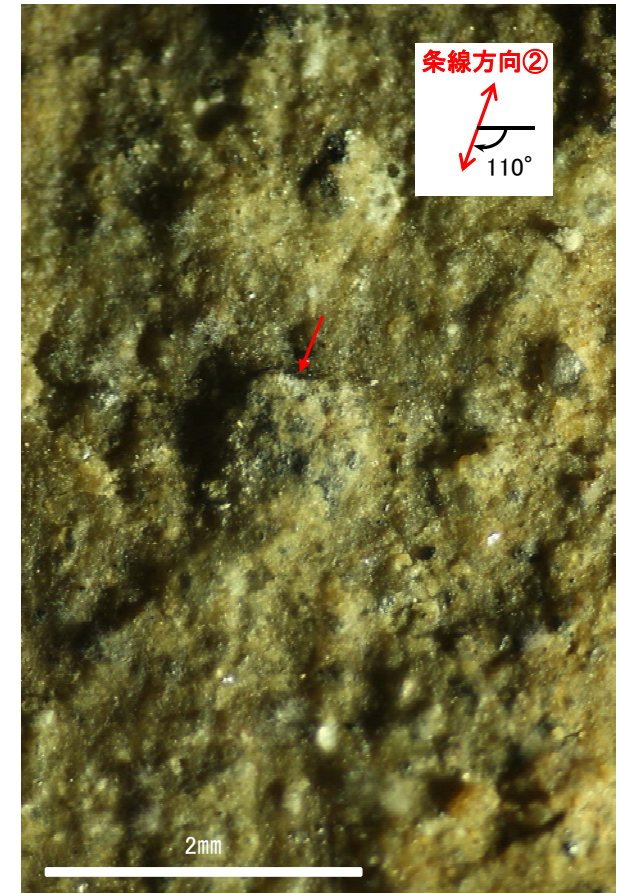
概念図
※走向は真北で示す。



観察面写真



観察面拡大写真B



詳細観察写真B

・条線①のレイクは70° R(下盤側換算), 変位センスは右横ずれ逆断層

(4)-11 K-21の運動方向調査結果

K-21の運動方向調査結果 一概要

○コア観察, CT画像観察, 条線観察, 薄片観察結果から, 固結した破碎部では正断層の変位センスが認められ, 粘土状破碎部では左横ずれを伴う逆断層の変位センスが認められる。右表中□の観察結果を次頁以降に示す。

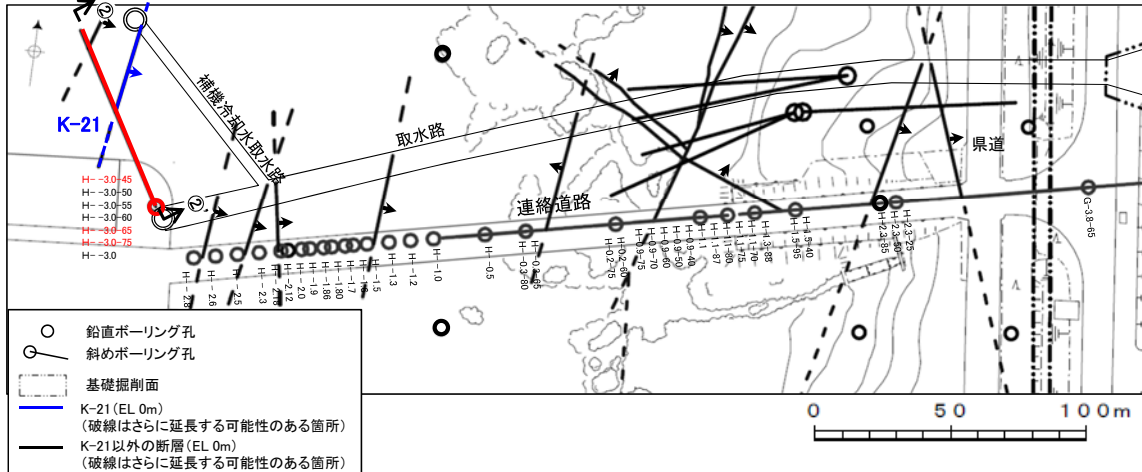
□以外の観察結果については本資料2.5 k, 補足資料2.5-1(2)-23。

観察結果 一覧表

試料名	走向/傾斜 (走向は真北)	固結した破碎部	粘土状破碎部		
		変位センス (コア観察, 薄片観察)	条線の レイク*1	変位センス (条線観察)	変位センス (薄片観察)
H-3.0-75孔 [深度42.59m]	N2° E/66° SE	正断層	120° R	(不明)	左横ずれ 逆断層
			95° R	(不明)	
H-3.0-65孔 [深度38.34m]	N25° E/71° SE	(不明)			左横ずれ 逆断層*2
H-3.0-45孔 [深度32.84m]	N9° E/62° SE		47° R	(不明)	

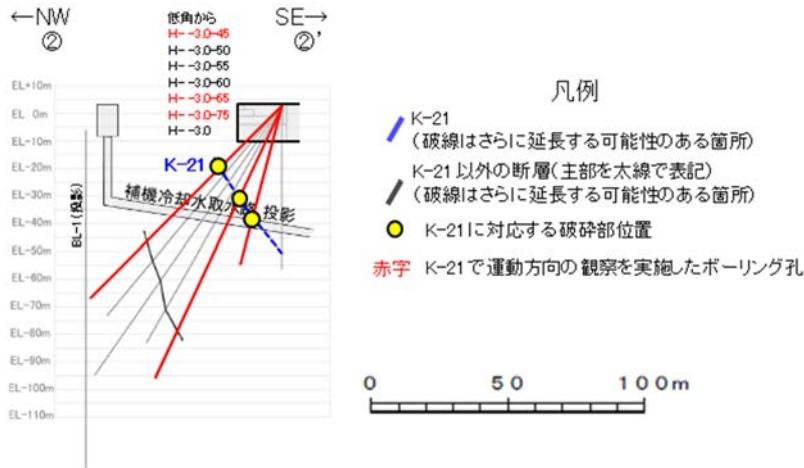
*1: 上盤側で確認したレイクは下盤側に換算して示す。

*2: H-3.0-75孔の条線観察結果を踏まえ120° Rで切断し, 作成した薄片で確認。



位置図

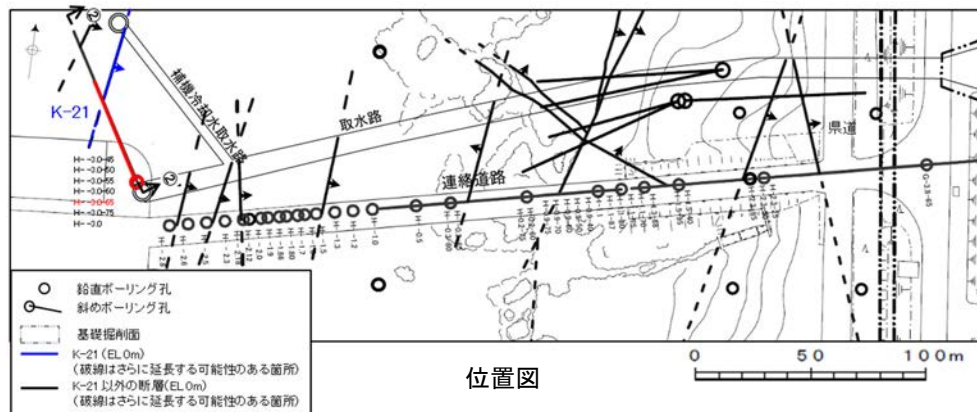
赤字 K-21で運動方向の観察を実施したボーリング孔
矢印(▲)の向きは断層の傾斜方向を示す



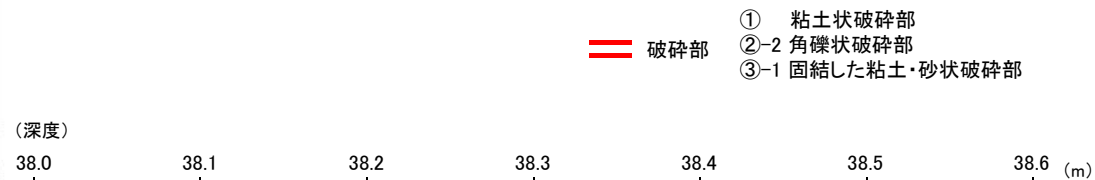
②-②' 断面図

K-21の運動方向調査結果 -H- -3.0-65孔-

○H- -3.0-65孔の深度38.25~38.34mにおいて、K-21に対応する破砕部が認められる。
 ○この破砕部を対象に、コア観察及びCT画像観察により抽出した主せん断面において、薄片観察を実施し、粘土状破砕部の運動方向を確認した。



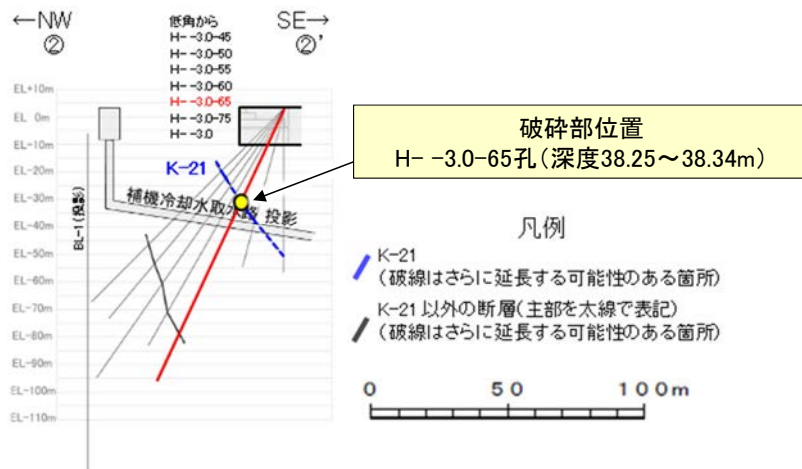
矢印(▲)の向きは断層の傾斜方向を示す



コア写真(H- -3.0-65孔, 破砕部区分を加筆)

コア観察結果

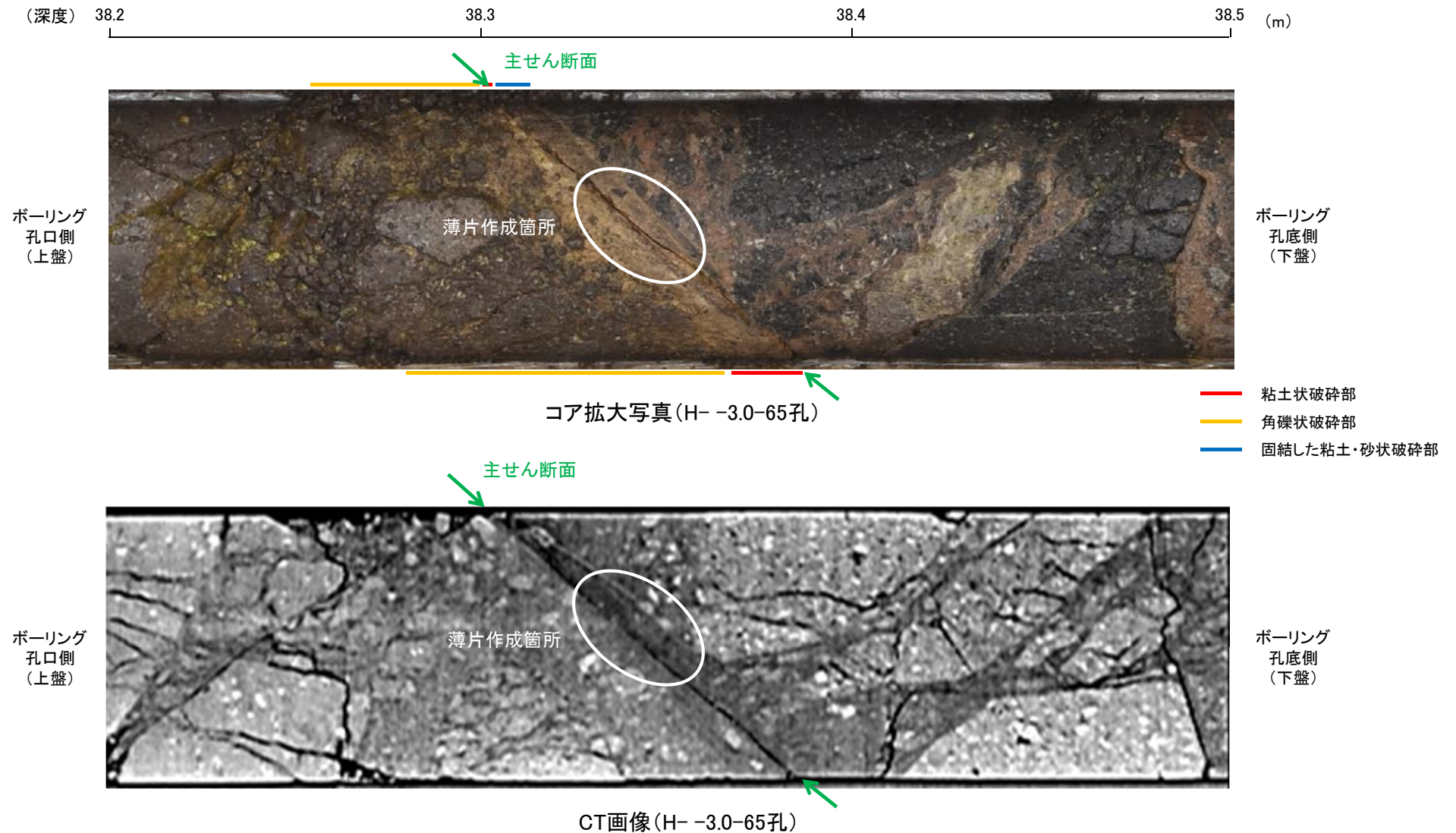
深度38.25~38.34m:
 見かけの傾斜角50°の厚さ4.2~8.3cmの破砕部。厚さ3.2~7.7cmの灰褐色の角礫状破砕部、厚さ0.5~1.6cmの明黄褐色の粘土状破砕部及び厚さ0.1~0.8cmの固結した破砕部からなる。



②-②'断面図

K-21の運動方向調査結果 —H- -3.0-65孔(コア観察, CT画像観察)—

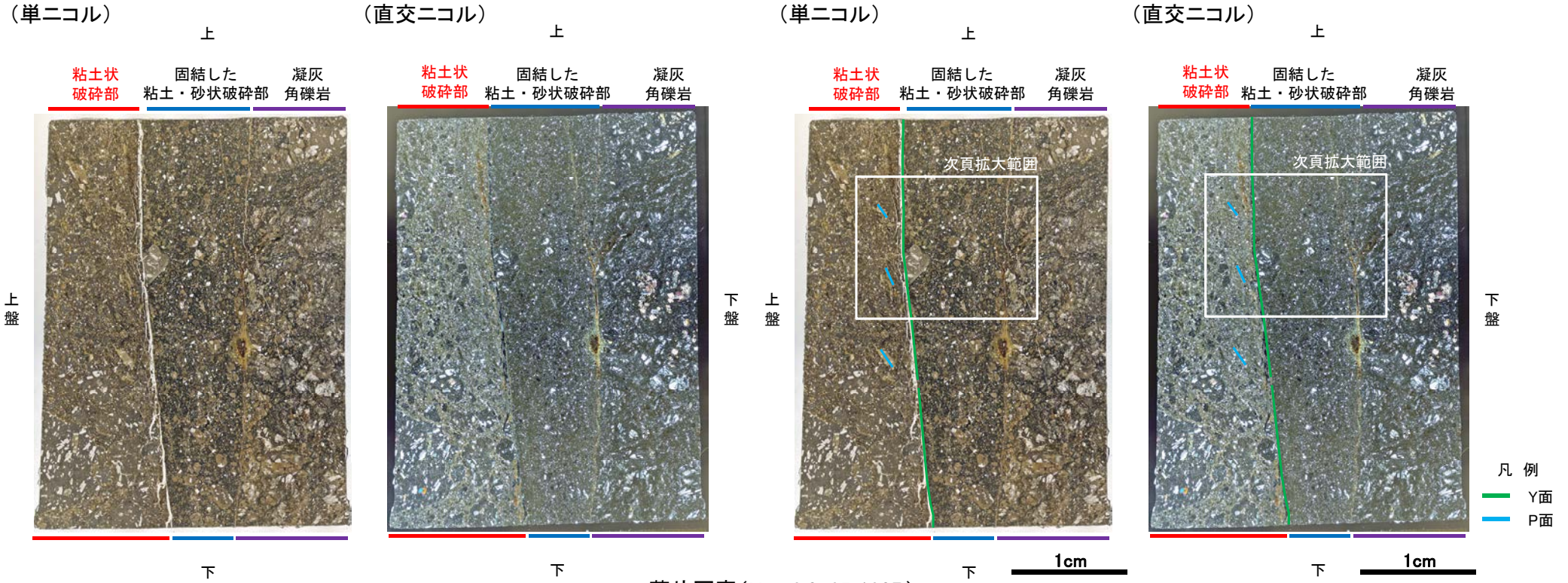
- コア観察, CT画像観察結果より, 角礫状破碎部と固結した粘土・砂状破碎部の境界である深度38.30m付近に, 厚さ0.5~1.6cmの粘土状破碎部が認められる。
- 粘土状破碎部を伴う比較的直線性・連続性がよい面を, 主せん断面として抽出した。
- 主せん断面において, 薄片観察を実施した。



K-21の運動方向調査結果 —H- -3.0-65孔(薄片観察)—

- H- -3.0-65孔の主せん断面において、隣接孔(H- -3.0-75孔)の条線方向(120° R)で作成した薄片観察の結果、上盤側から粘土状破碎部、固結した粘土・砂状破碎部、凝灰角礫岩※に分帯される。
- 粘土状破碎部と固結した粘土・砂状破碎部の境界をなすY面が認められる。このY面は直線的・連続的に発達する。
- その他、薄片内にY面に相当する構造は認められない。

※分帯名はコア観察での破碎部区分に対応



薄片写真(H- -3.0-65_120R)
(右は構造等を加筆)

見かけ上盤側上がり

薄片観察結果

粘土状破碎部:

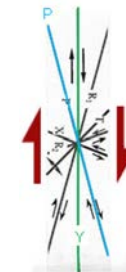
単ニコルで褐灰色、直交ニコルで黄～灰色の干渉色を呈する。径9mm以下の岩片や鉱物片が細粒な基質中に含まれる。岩片、鉱物片は垂角～垂円形、鉱物片は角～垂円形である。基質中や割れ目、岩片の縁辺部には粘土鉱物が生成されている。

固結した粘土・砂状破碎部:

単ニコルで褐灰～暗灰色、直交ニコルで灰色の干渉色を呈する。径4mm以下の岩片や鉱物片が細粒な基質中に含まれる。岩片は垂角～垂円形、鉱物片は角～垂角形である。

凝灰角礫岩:

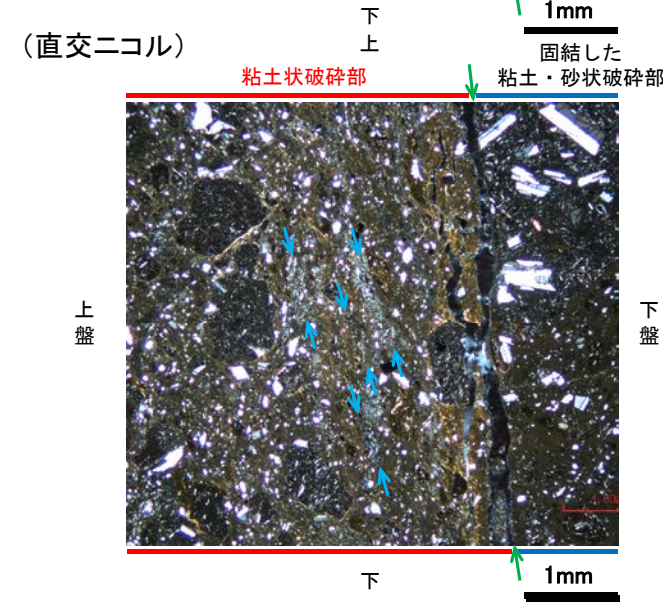
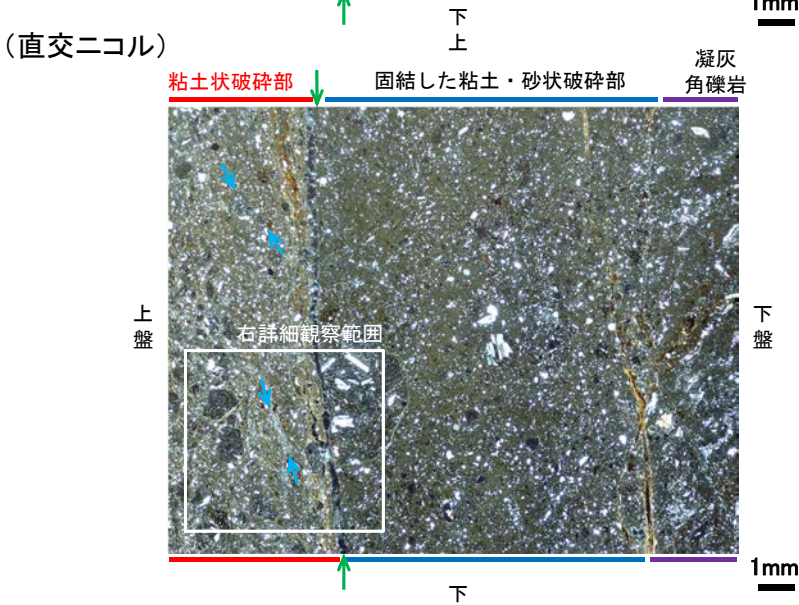
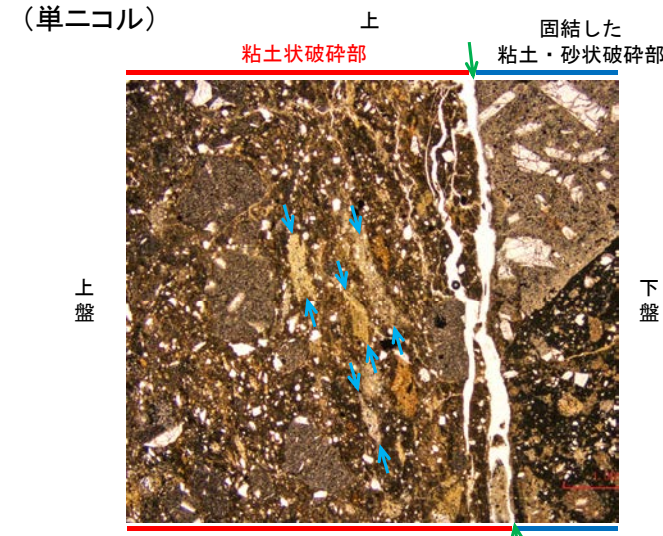
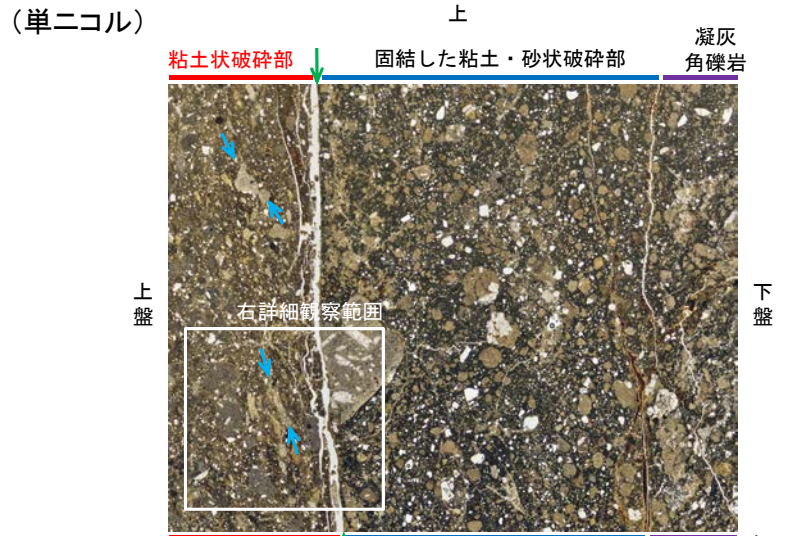
単ニコルで褐灰～暗灰色、直交ニコルで灰色の干渉色を呈する。径8mm以下の岩片や鉱物片が細粒な基質中に含まれる。岩片、鉱物片は角～垂角形である。



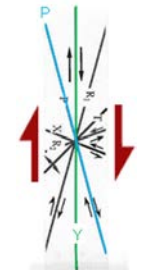
せん断センスを示す複合面構造
(狩野・村田(1998)に加筆)

K-21の運動方向調査結果 —H- -3.0-65孔(薄片観察, 詳細観察)—

- 固結した粘土・砂状破碎部中には複合面構造は認められず、変位センスは特定できない。
- 粘土状破碎部中の岩片や鉱物片の多くに定向性は認められない。ただし、Y面の直近の一部において認められる粘土鉱物の微弱な定向配列をP面とすると、見かけ上盤側上がりの変位が推定される。
- 断層の走向傾斜がN25° E/71° SE, 条線レイクが120° Rであることから、粘土状破碎部の運動方向は左横ずれを伴う逆断層センスである。



見かけ上盤側上がり



せん断センスを示す複合面構造 (狩野・村田(1998)に加筆)

凡例
 → ← Y面
 → ← P面

拡大範囲写真

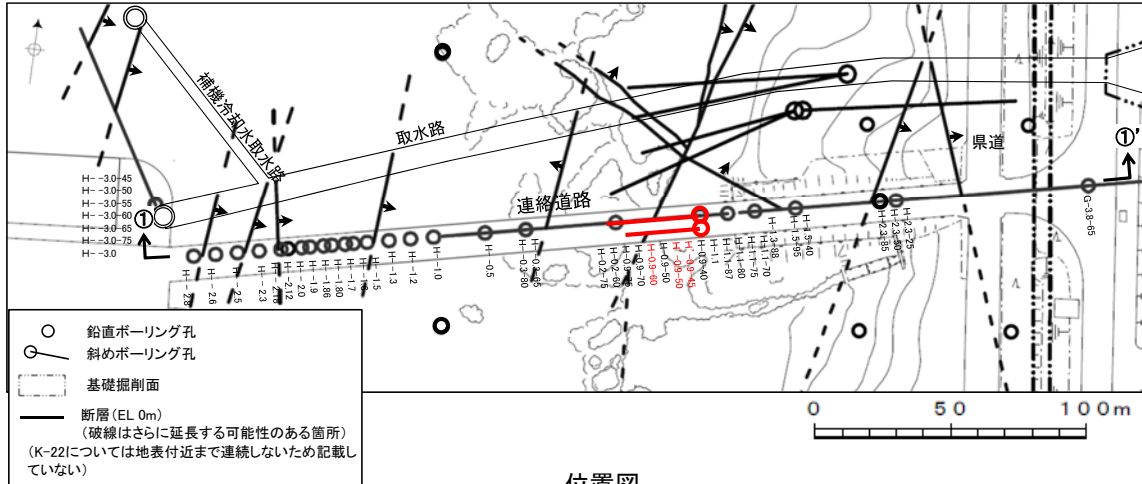
詳細観察範囲写真

(4)-12 K-22の運動方向調査結果

K-22の運動方向調査結果 一概要

○コア観察, CT画像観察, 条線観察, 薄片観察結果から, 固結した破砕部では正断層の変位センスが認められ, 粘土状破砕部では右横ずれを伴う逆断層の変位センスが認められる。右表中□の観察結果を次頁以降に示す。

□以外の観察結果については本資料2.5.1, 補足資料2.5-1(2)-24。



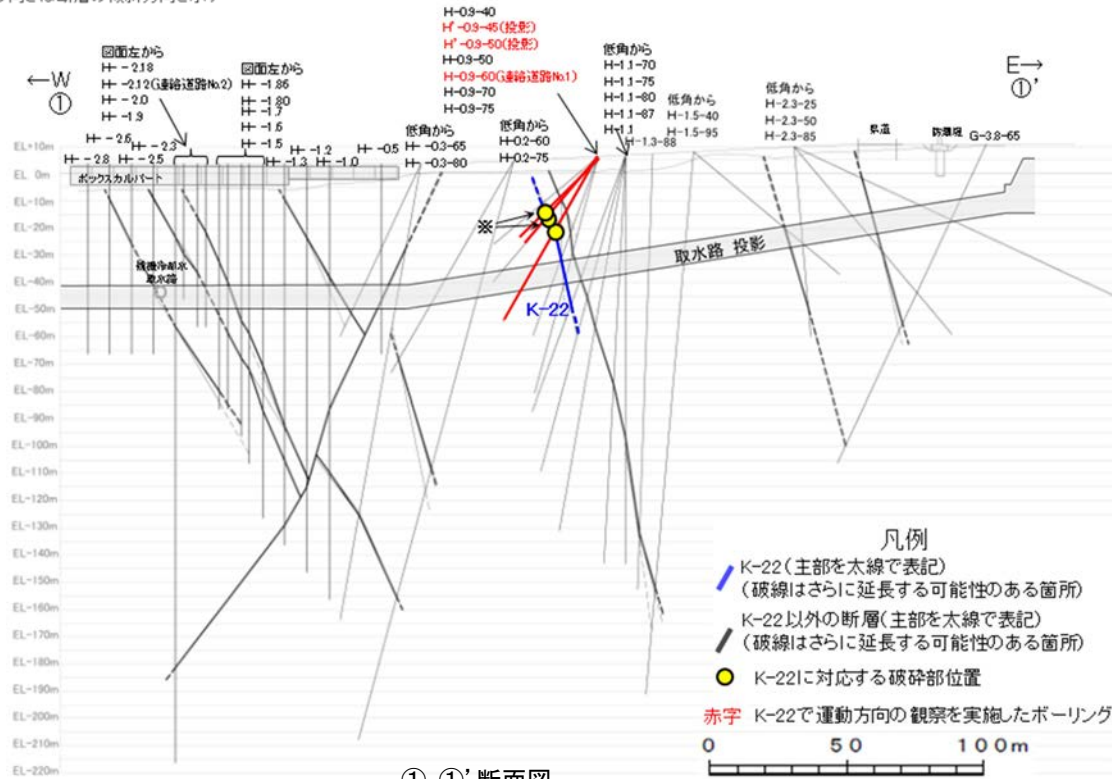
位置図

赤字 K-22で運動方向の観察を実施したボーリング孔
矢印(➡)の向きは断層の傾斜方向を示す

観察結果 一覧表

試料名	走向/傾斜 (走向は真北)	固結した破砕部	粘土状破砕部		
		変位センス (コア観察, 薄片観察)	条線の レイク*1	変位センス (条線観察)	変位センス (薄片観察)
H'-0.9-45孔 [深度31.80m]	N2° W/65° NE	正断層	60° R 45° R	(不明)	右横ずれ 逆断層
H-0.9-60孔 [深度31.58m]	N16° E/74° SE	正断層			0° R:右横ずれ*2 90° R:逆断層*3
H'-0.9-50孔 [深度32.95m]	N7° W/67° NE		117° R	(不明)	
			67° R	(不明)	
			22° R	(不明)	

*1: 上盤側で確認したレイクは下盤側に換算して示す。
*2: 破砕部の最大傾斜方向に直交な方向で切断し, 作成した薄片で確認。
*3: 破砕部の最大傾斜方向で切断し, 作成した薄片で確認。



①-①' 断面図

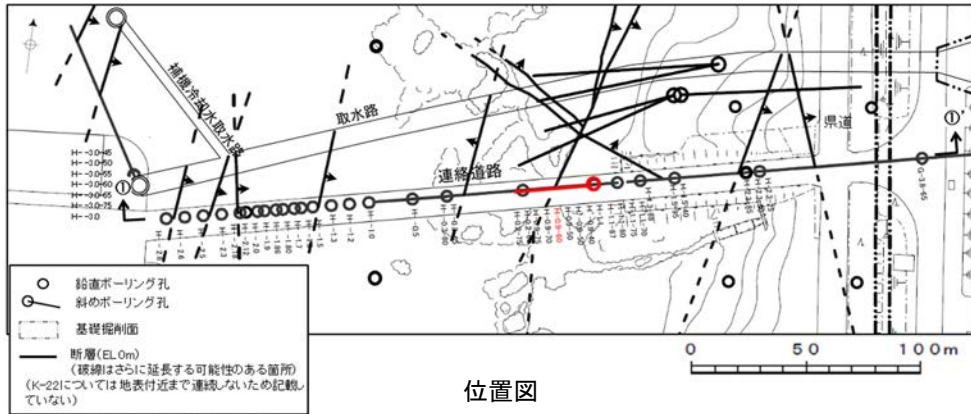
凡例
 K-22 (主部を太線で表記)
 (破線はさらに延長する可能性のある箇所)
 K-22以外の断層 (主部を太線で表記)
 (破線はさらに延長する可能性のある箇所)
 ● K-22に対応する破砕部位置

赤字 K-22で運動方向の観察を実施したボーリング孔

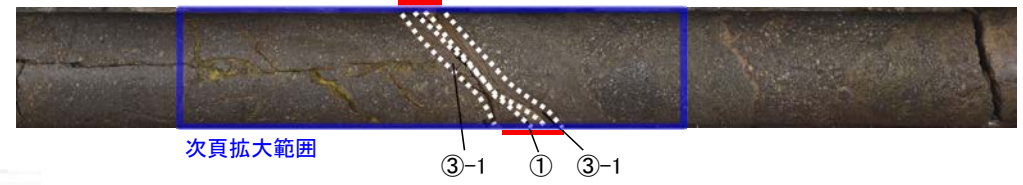
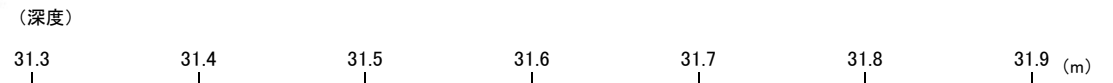
※: 運動方向のデータを取得するため, K-22を確認している範囲で, K-22に対応する破砕部を確認した。
H'-0.9-45孔及びH'-0.9-50孔のK-22確認深度付近のコア写真は, 補足資料2.5-1(6)

K-22の運動方向調査結果 —H-0.9-60孔—

○H-0.9-60孔の深度31.56～31.59mにおいて、K-22に対応する破砕部が認められる。
 ○この破砕部を対象に、コア観察及びCT画像観察により抽出した主せん断面において、薄片観察を実施し、固結した破砕部の運動方向及び粘土状破砕部の運動方向を確認した。



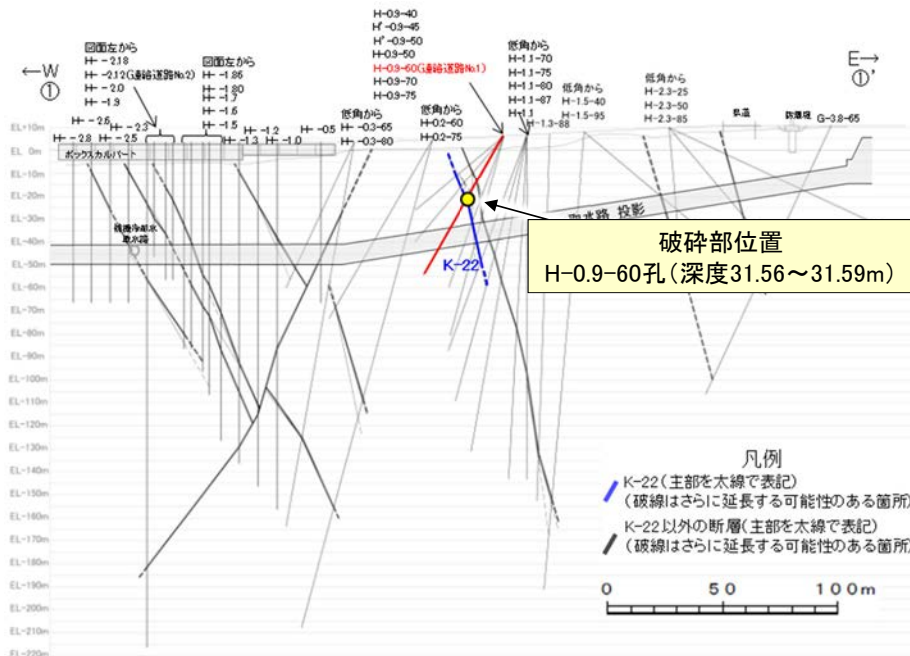
矢印(➡)の向きは断層の傾斜方向を示す



コア写真(H-0.9-60孔、破砕部区分を加筆)

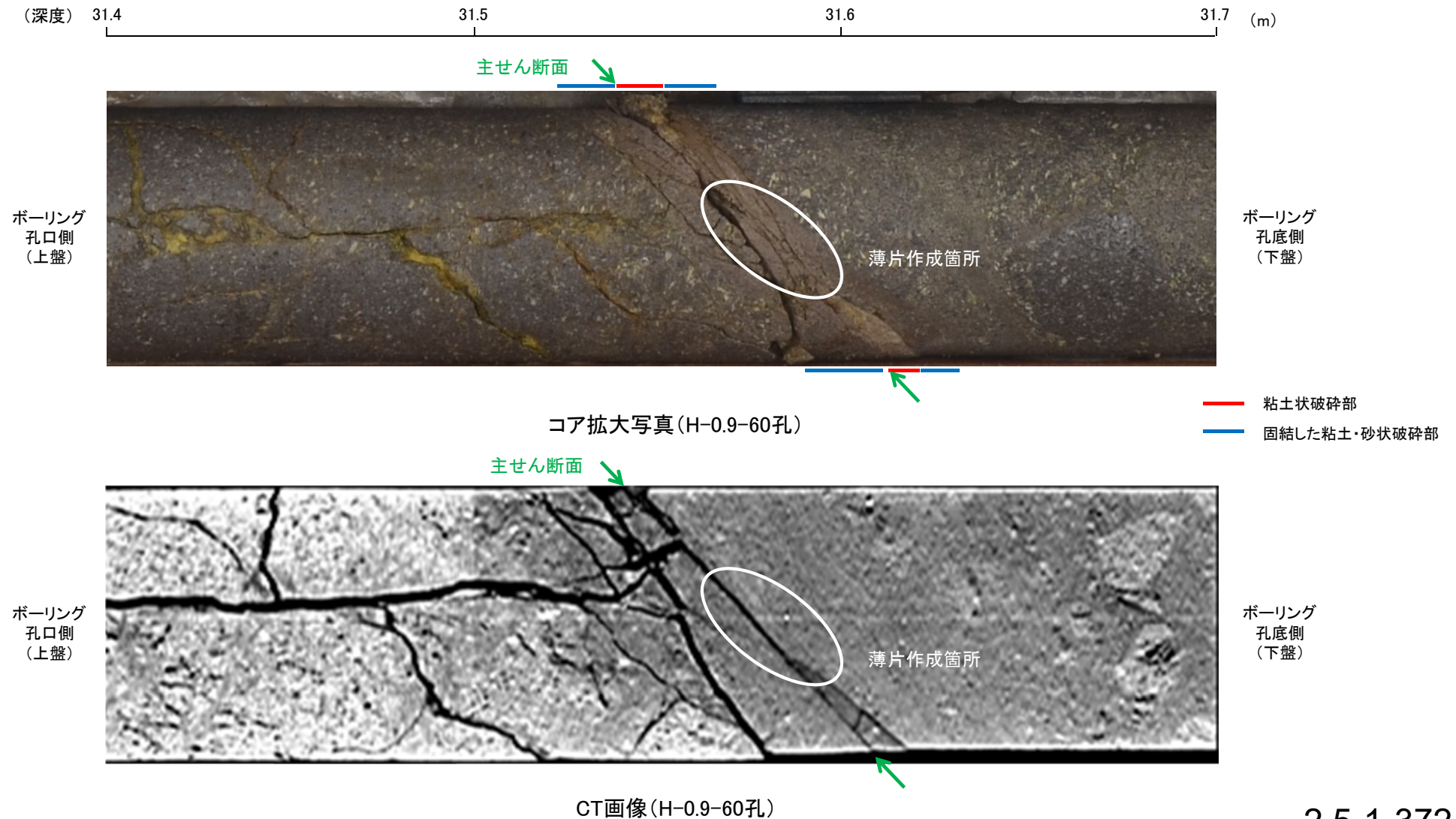
コア観察結果

深度31.56～31.59m:
 見かけの傾斜角45°の厚さ2.1～2.8cmの破砕部。厚さ0.1～0.5cmの黄褐～暗灰黄色の粘土状破砕部及び厚さ2.1～2.5cmの固結した破砕部からなる。



K-22の運動方向調査結果 —H-0.9-60孔(コア観察, CT画像観察)—

- コア観察, CT画像観察結果より, 固結した粘土・砂状破碎部に挟まれた深度31.60m付近に, 厚さ0.1~0.5cmの粘土状破碎部が認められる。
- 粘土状破碎部を伴う比較的直線性・連続性がよい面を, 主せん断面として抽出した。
- 主せん断面において, 薄片観察を実施した。



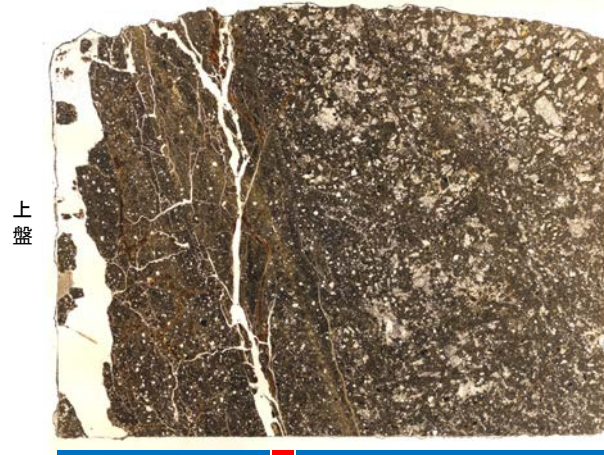
K-22の運動方向調査結果 —H-0.9-60孔(薄片観察①)—

00° R, 90° Rの直交方向で薄片を作成した。
 ○主せん断面において0° Rで作成した薄片観察の結果, 上盤側から固結した粘土・砂状破碎部, 粘土状破碎部, 固結した粘土・砂状破碎部※に分帯される。
 ○固結した粘土・砂状破碎部(上盤側)と粘土状破碎部の境界をなすY面1が認められる。このY面1は直線的に発達するが, 一部で密着し不明瞭となり, 連続性に乏しい。
 ○粘土状破碎部と固結した粘土・砂状破碎部(下盤側)の境界をなすY面2が認められる。このY面2は湾曲し密着して不明瞭であり, 直線性, 連続性に乏しい。
 ○その他, 薄片内にY面に相当する構造は認められない。

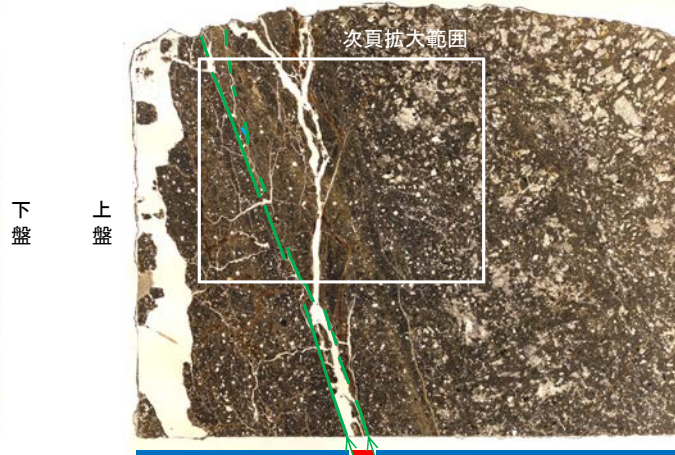
※分帯名はコア観察での破碎部区分に対応

(単ニコル)

固結した 粘土状 南
粘土・砂状破碎部 破碎部 固結した粘土・砂状破碎部



固結した 粘土状 南
粘土・砂状破碎部 破碎部 固結した粘土・砂状破碎部



薄片観察結果

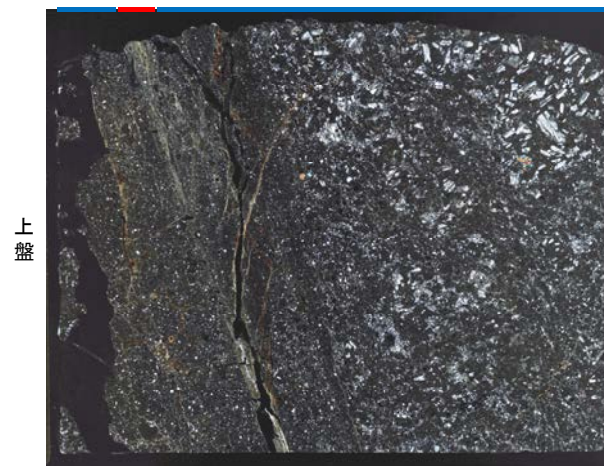
固結した粘土・砂状破碎部(上盤側):
 単ニコルで褐灰~暗灰色, 直交ニコルで灰色の干渉色を呈する。径2mm以下の岩片や鉱物片が細粒な基質中に含まれる。岩片, 鉱物片は亜角~亜円形である。割れ目には粘土鉱物が生成されている。

粘土状破碎部:
 単ニコルで褐灰~暗灰色, 直交ニコルで黄~灰色の干渉色を呈する。径1mm以下の岩片や鉱物片が細粒な基質中に含まれる。岩片, 鉱物片は亜角~亜円形である。基質中や割れ目, 岩片の縁辺部には粘土鉱物が生成されている。

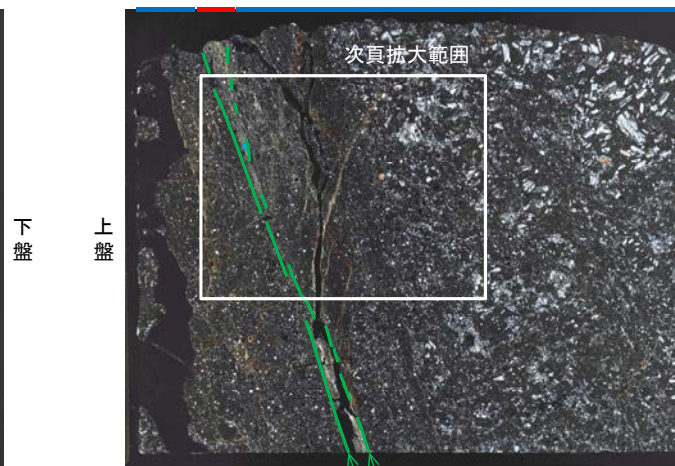
固結した粘土・砂状破碎部(下盤側):
 単ニコルで褐灰~灰色, 直交ニコルで灰色の干渉色を呈する。径14mm以下の岩片や鉱物片が細粒な基質中に含まれる。岩片, 鉱物片は角~亜円形である。一部の基質中や割れ目, 岩片の縁辺部には粘土鉱物が生成されており, 粘土状破碎部との境界付近に比較的多く含まれる。

(直交ニコル)

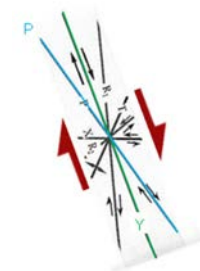
固結した 粘土状 南
粘土・砂状破碎部 破碎部 固結した粘土・砂状破碎部



固結した 粘土状 南
粘土・砂状破碎部 破碎部 固結した粘土・砂状破碎部



見かけ右横ずれ



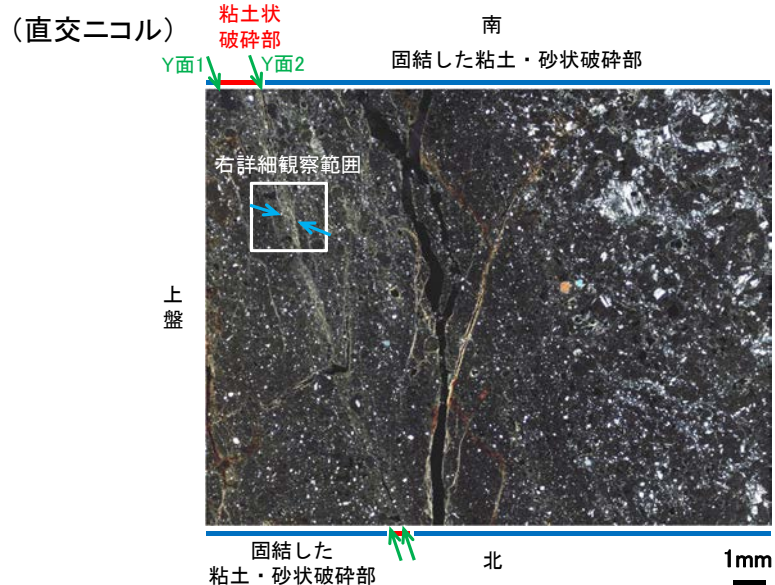
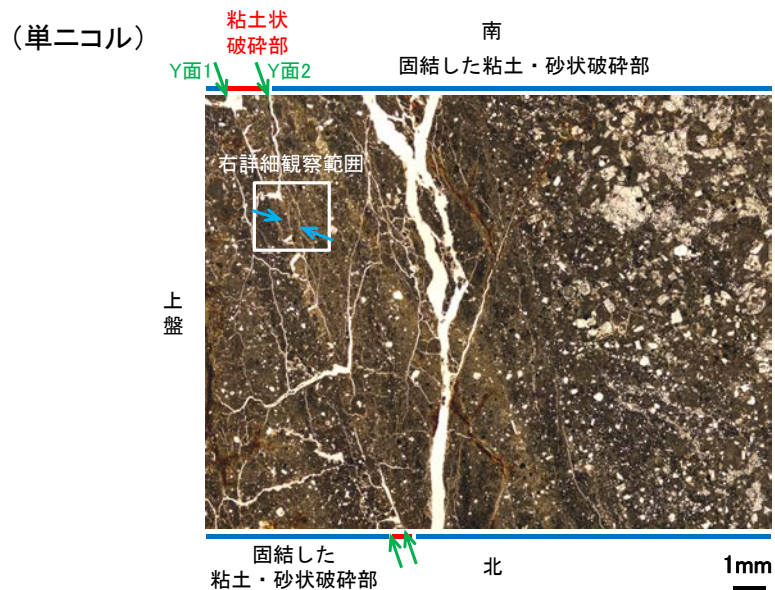
凡例
 緑線 Y面
 青線 P面

せん断センスを示す複合面構造
 (狩野・村田(1998)に加筆)

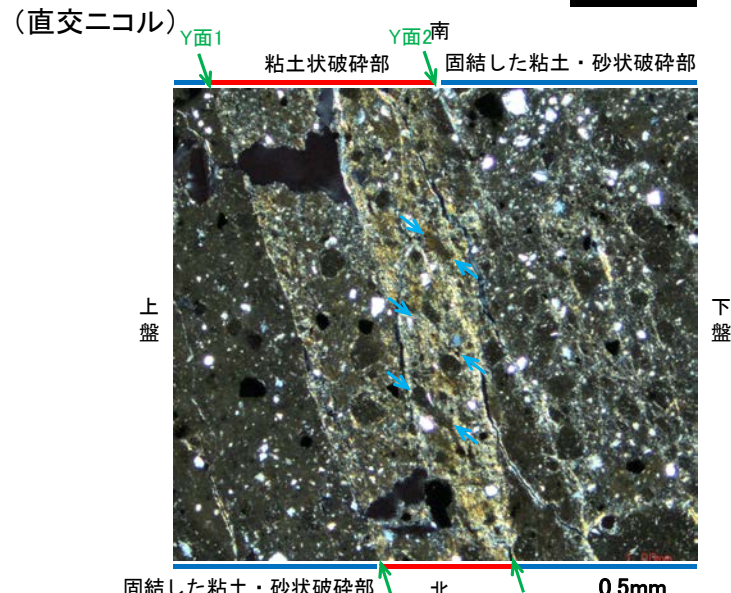
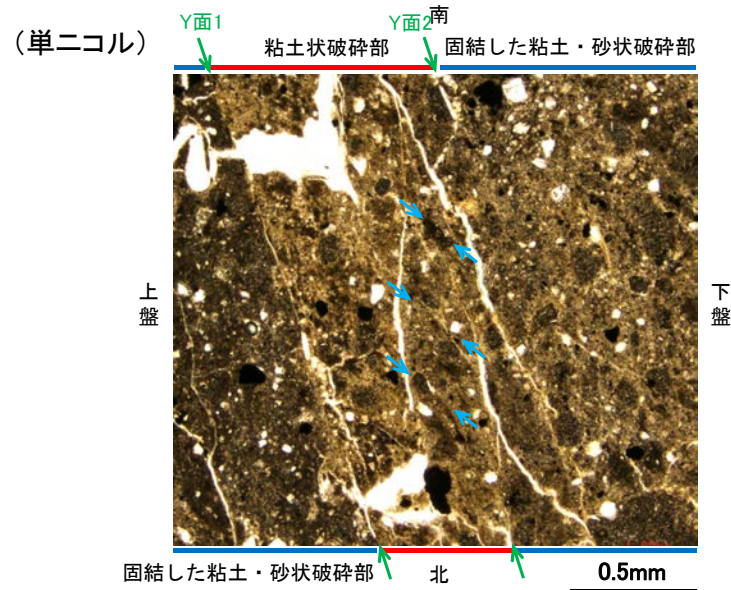
薄片写真(H-0.9-60_0R)(右は構造等を加筆)

K-22の運動方向調査結果 —H-0.9-60孔(薄片観察①, 詳細観察)—

- 固結した粘土・砂状破碎部中には複合面構造は認められず、変位センスは特定できない。
- 粘土状破碎部中の岩片や鉱物片の多くに定向性は認められない。ただし、Y面直近の一部において認められる岩片や粘土鉱物の微弱な定向配列をP面とすると、見かけ右横ずれの変位が推定される。
- 断層の走向傾斜がN16° E/74° SE, 薄片作成方向が0° Rであることから、粘土状破碎部の運動方向の水平成分は右横ずれである。

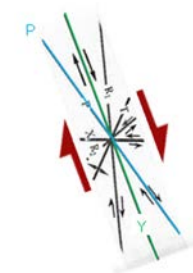


拡大範囲写真



詳細観察範囲写真

見かけ右横ずれ



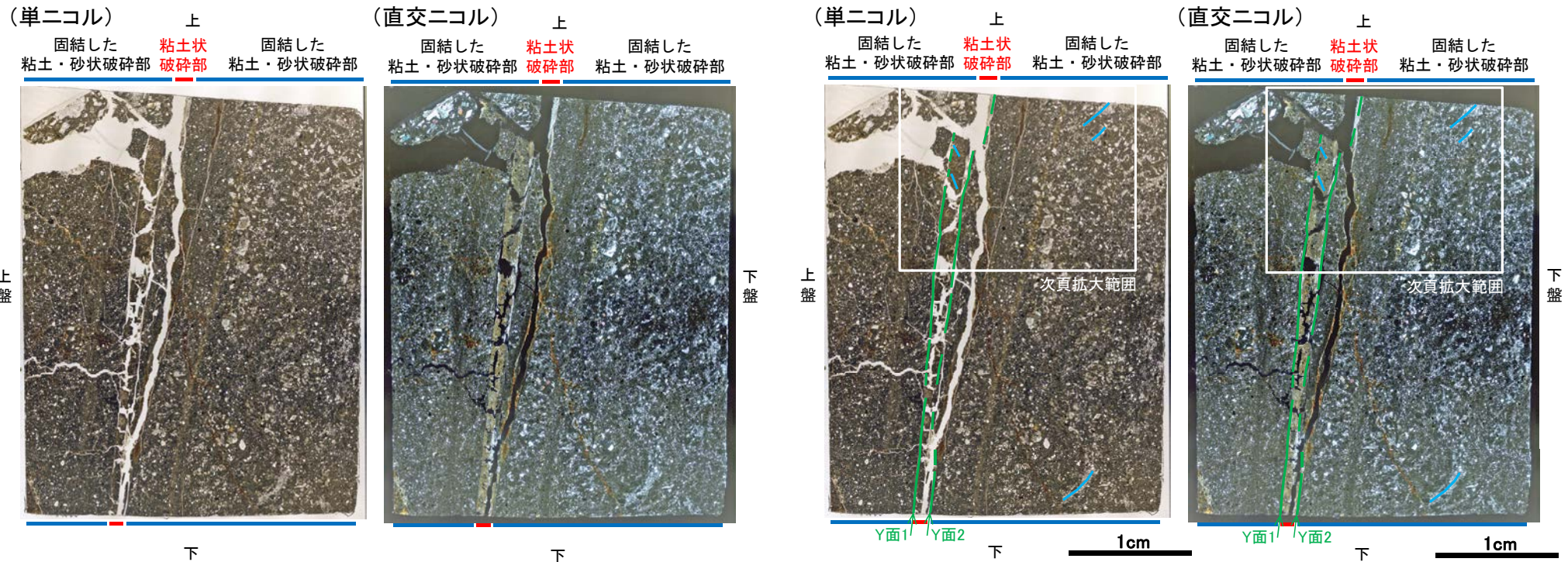
せん断センスを示す複合面構造 (狩野・村田(1998)に加筆)

- 凡例
- ← Y面
 - ← P面

K-22の運動方向調査結果 —H-0.9-60孔(薄片観察②)—

- 主せん断面において90° Rで作成した薄片観察の結果, 上盤側から固結した粘土・砂状破碎部, 粘土状破碎部, 固結した粘土・砂状破碎部※に分帯される。
- 固結した粘土・砂状破碎部(上盤側)と粘土状破碎部の境界をなすY面1が認められる。このY面1は一部で密着し不明瞭となり, 連続性に乏しい。
- 粘土状破碎部と固結した粘土・砂状破碎部(下盤側)の境界をなすY面2が認められる。このY面2は一部で密着し不明瞭となり, 連続性に乏しい。
- その他, 薄片内にY面に相当する構造は認められない。

※分帯名はコア観察での破碎部区分に対応

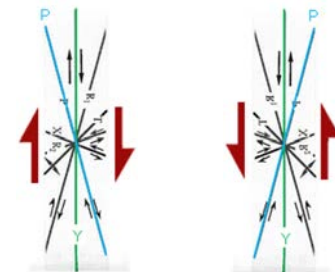


薄片写真(H-0.9-60_90R)
(右は構造等を加筆)

薄片観察結果

- 固結した粘土・砂状破碎部(上盤側):**
単ニコルで褐灰～暗灰色, 直交ニコルで灰色の干渉色を呈する。径3mm以下の岩片や鉱物片が細粒な基質中に含まれており, 径7mmの岩片も認められる。岩片, 鉱物片は垂角～垂円形である。割れ目や岩片の縁辺部には粘土鉱物が生成されている。
- 粘土状破碎部:**
単ニコルで褐灰～暗灰色, 直交ニコルで黄～灰色の干渉色を呈する。径1mm以下の岩片や鉱物片が細粒な基質中に含まれる。岩片, 鉱物片は垂角～垂円形である。基質中や岩片の縁辺部には粘土鉱物が生成されている。
- 固結した粘土・砂状破碎部(下盤側):**
単ニコルで褐灰～灰色, 直交ニコルで灰色の干渉色を呈する。径8mm以下の岩片や鉱物片が細粒な基質中に含まれる。岩片, 鉱物片は角～垂円形である。一部の基質中や割れ目, 岩片の縁辺部には粘土鉱物が生成されており, 粘土状破碎部との境界付近に比較的多く含まれる。

見かけ上盤側上がり 見かけ上盤側下がり

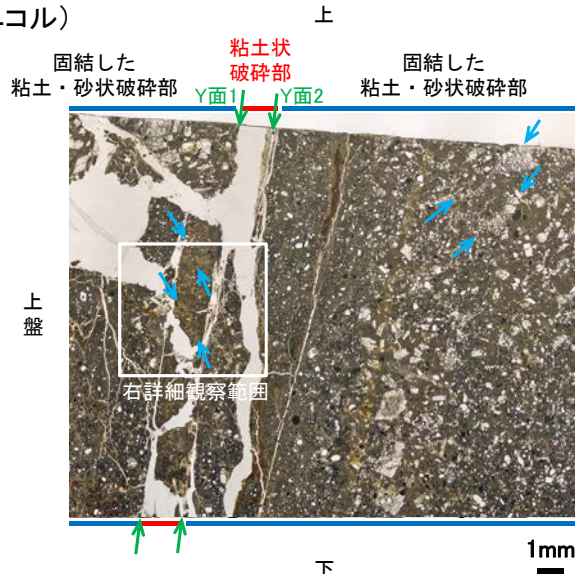


せん断センスを示す複合面構造
(狩野・村田(1998)に加筆)

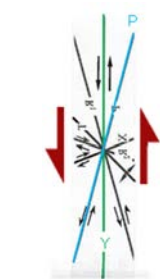
K-22の運動方向調査結果 —H-0.9-60孔(薄片観察②, 詳細観察)—

- 固結した粘土・砂状破碎部中の岩片や鉱物片の定向配列をP面とすると, 見かけ上盤側下がりの変位が推定される。
- 断層の走向傾斜がN16° E/74° SE, 薄片作成方向が90° Rであることから, 固結した破碎部の運動方向の鉛直成分は正断層センスである。
- 粘土状破碎部中の岩片や鉱物片の多くに定向性は認められない。ただし, Y面直近の一部において認められる岩片や粘土鉱物の微弱な定向配列をP面とすると, 見かけ上盤側上がりの変位が推定される。
- 断層の走向傾斜がN16° E/74° SE, 薄片作成方向が90° Rであることから, 粘土状破碎部の運動方向の鉛直成分は逆断層センスである。

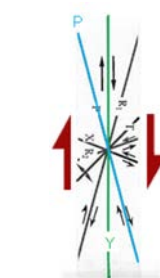
(単ニコル)



見かけ上盤側下がり

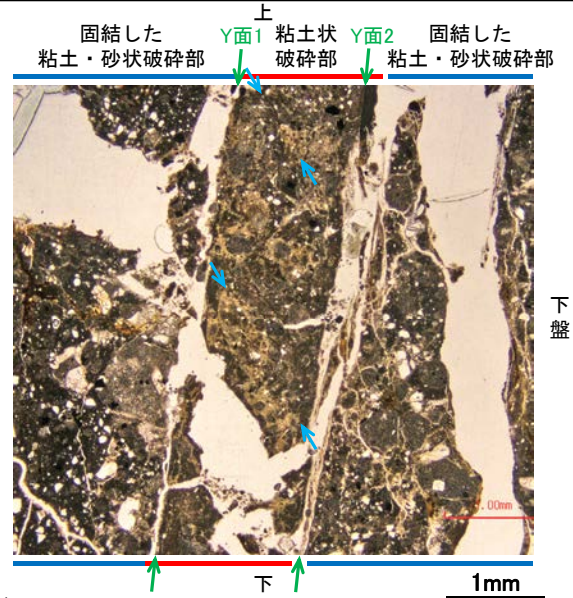


見かけ上盤側上がり

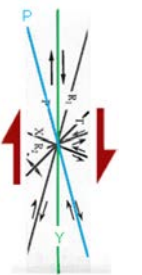


せん断センスを示す複合面構造 (狩野・村田(1998)に加筆)

(単ニコル)

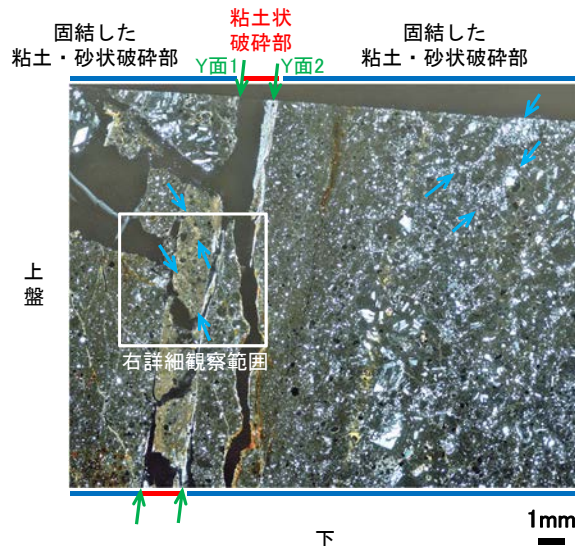


見かけ上盤側上がり



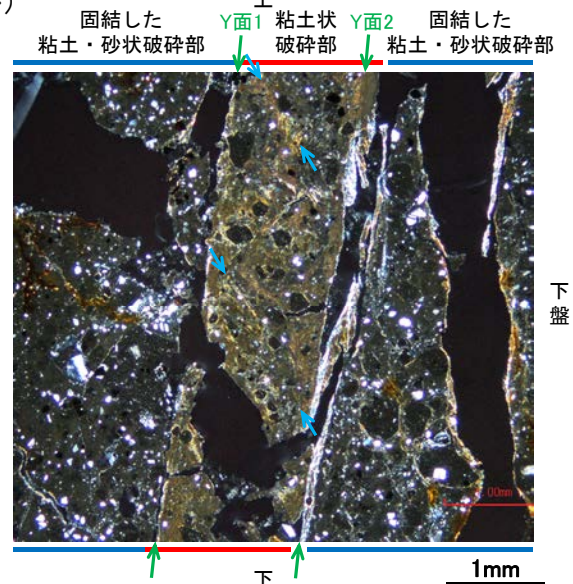
せん断センスを示す複合面構造 (狩野・村田(1998)に加筆)

(直交ニコル)



拡大範囲写真

(直交ニコル)



詳細観察範囲写真

凡例

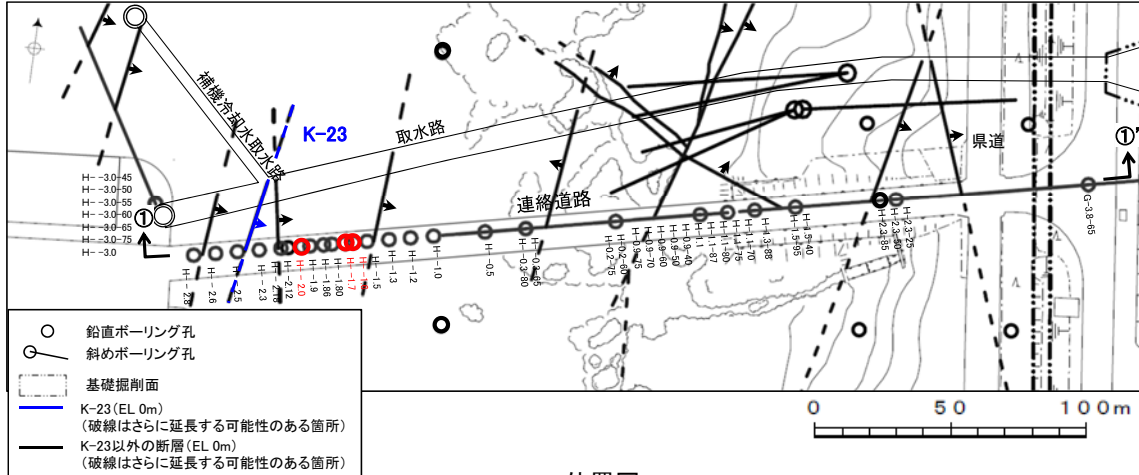
- Y面
- P面

(4)-13 K-23の運動方向調査結果

K-23の運動方向調査結果 一概要

○コア観察, CT画像観察, 条線観察, 薄片観察結果から, 固結した破碎部では正断層の変位センスが認められ, 粘土状破碎部では右横ずれまたは左横ずれを伴う逆断層の変位センスが認められる。右表中□の観察結果を次頁以降に示す。

□以外の観察結果については本資料2.5.m, 補足資料2.5-1(2)-25.



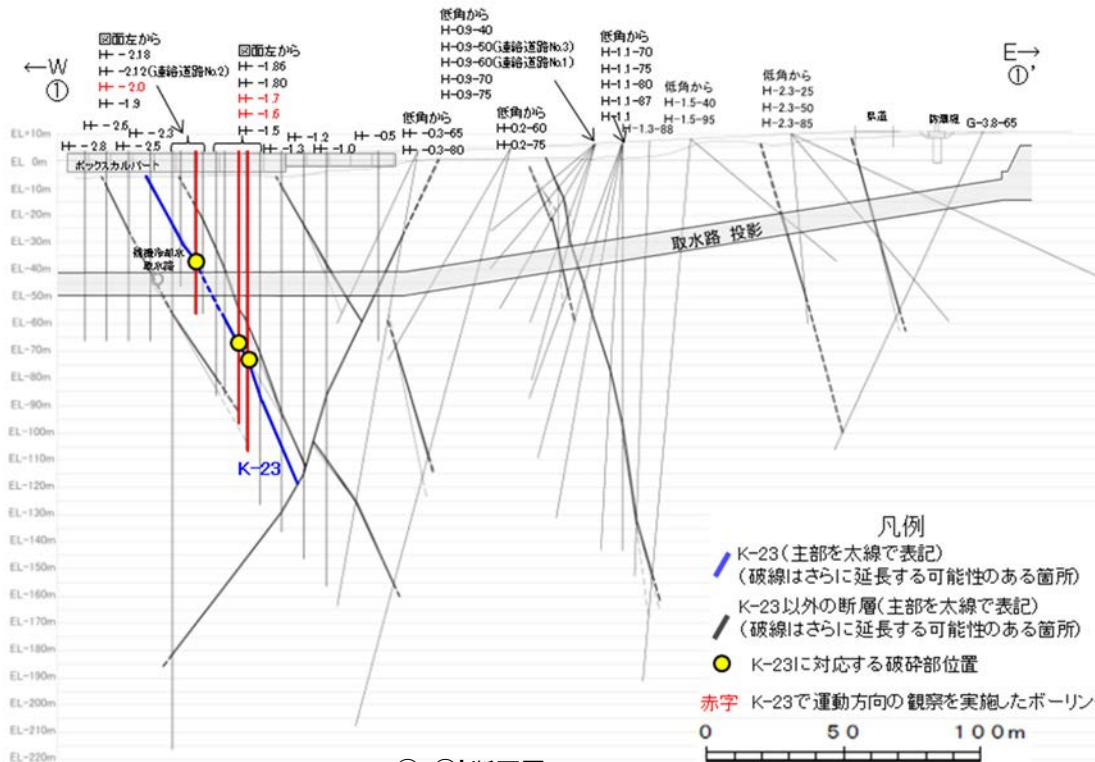
位置図

赤字 K-23で運動方向の観察を実施したボーリング孔
 矢印(▲)の向きは断層の傾斜方向を示す

観察結果 一覧表

試料名	走向/傾斜 (走向は真北)	固結した破碎部	粘土状破碎部(角礫状破碎部)		
		変位センス (コア観察, 薄片観察)	条線の レイク*1	変位センス (条線観察)	変位センス (薄片観察)
H- -1.7孔 [深度71.32m]	N13° E/72° SE	正断層	100° R	左横ずれ 逆断層	左横ずれ 逆断層
H- -2.0孔 [深度40.01m]	N4° E/69° SE	(不明)	85° R	右横ずれ 逆断層	(不明)
			70° R	右横ずれ 逆断層	
H- -1.6孔 [深度75.67m]	N4° E/65° SE	正断層			

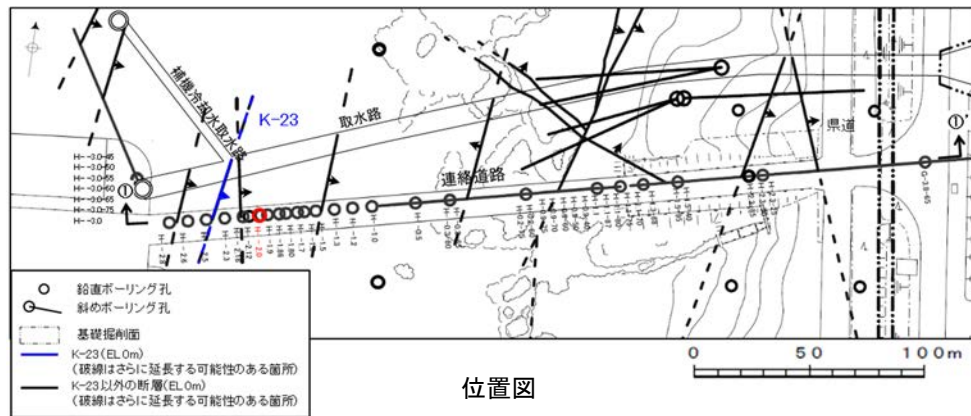
*1: 上盤側で確認したレイクは下盤側に換算して示す。



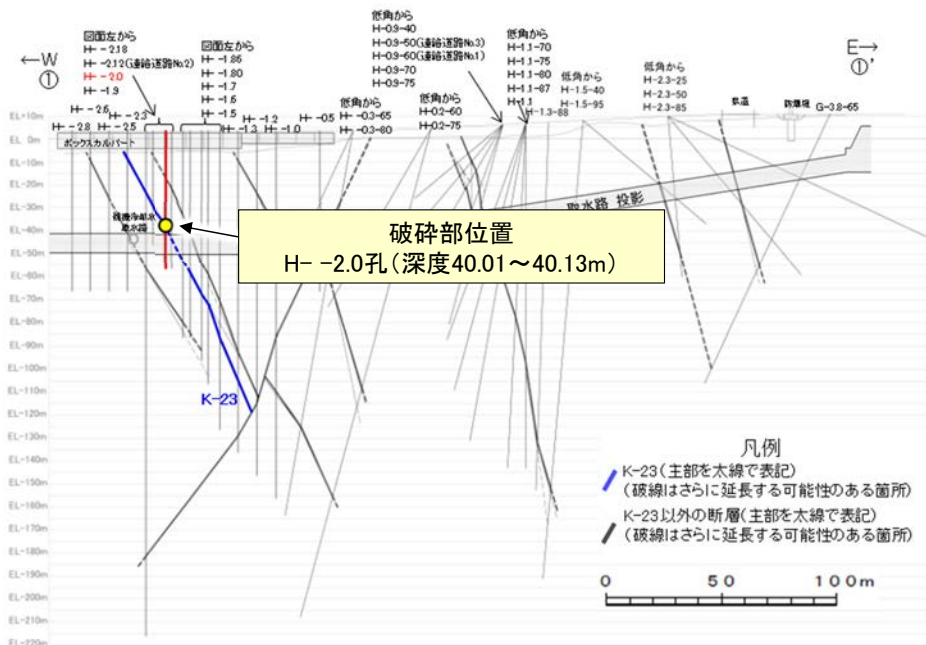
①-①' 断面図

K-23の運動方向調査結果 -H- -2.0孔-

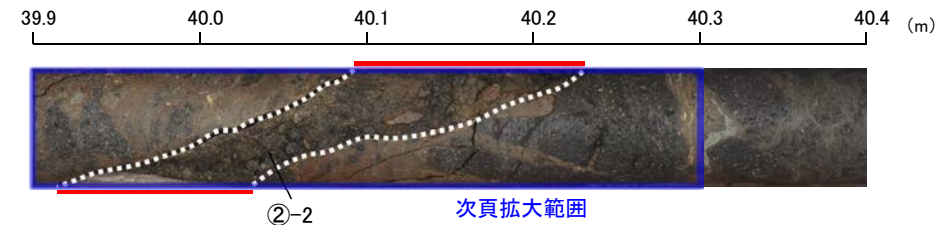
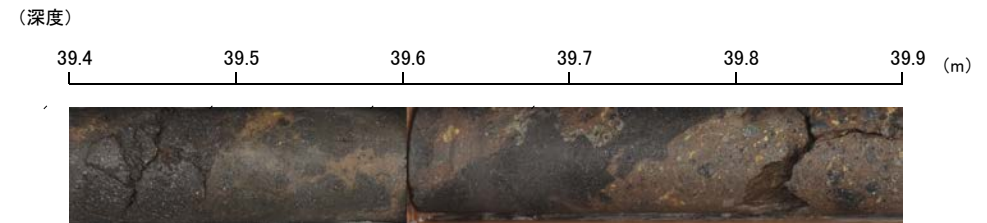
○H- -2.0孔の深度40.01~40.13mにおいて、K-23に対応する破砕部が認められる。
 ○この破砕部を対象に、コア観察及びCT画像観察により抽出した主せん断面において、条線観察、薄片観察を実施し、角礫状破砕部の運動方向を確認した。



矢印(▲)の向きは断層の傾斜方向を示す



— 破砕部 ②-2 角礫状破砕部



コア写真(H- -2.0孔, 破砕部区分を加筆)

コア観察結果

深度40.01~40.13m:
 傾斜角60~70° の厚さ3.0~5.4cmの破砕部。厚さ3.0~5.4cmのオリーブ灰色の角礫状破砕部からなる。

K-23の運動方向調査結果 —H- -2.0孔(コア観察, CT画像観察)—

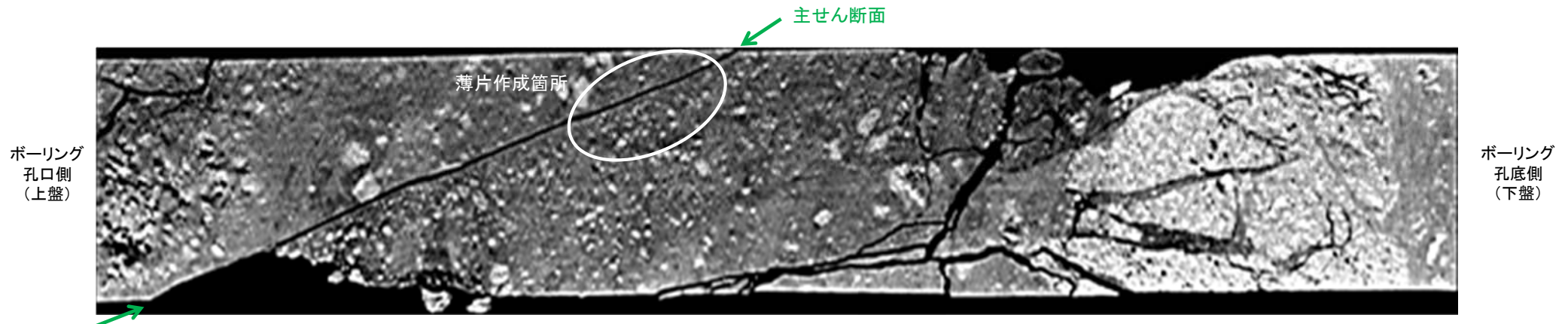
- コア観察, CT画像観察結果より, 母岩に挟まれた深度40.10m付近に, 厚さ3.0~5.4cmの角礫状破碎部が認められる。
- 角礫状破碎部を伴う比較的直線性・連続性がよい面を, 主せん断面として抽出した。
- 主せん断面において, 条線観察及び薄片観察を実施した。

(深度) 39.9 40.0 40.1 40.2 40.3 (m)



コア拡大写真(H- -2.0孔)

角礫状破碎部



CT画像(H- -2.0孔)